



21-6-2023

La Matemática dentro del modelado en 2D

Ortomosaico de la Universidad
Central del Ecuador.



UNIVERSIDAD CENTRAL DEL ECUADOR
Omnium potentior est sapientia

GUERRÓN BURBANO DARIO JAVIER.
FACULTAD DE CIENCIAS – PROYECTO AGRICULTURA INTELIGENTE.

Contenido

Índice de Figuras.....	3
La matemática dentro del modelado en 2D	5
1. Introducción.	5
2. Objetivo General.....	6
3. Materiales y Herramientas.	6
3.1. Equipo de escritorio/portatil.	6
3.2. Software.....	6
4. Marco Teórico.....	7
4.1. Conceptos básicos.....	7
4.1.1. Matriz.	7
4.1.2. Adición de matrices.	7
4.1.3. Sustracción de matrices.	7
4.1.4. Multiplicación por un escalar.	7
4.1.5. Multiplicación de matrices.	8
4.1.6. Convolución de matrices.	8
4.2. Imagen.....	8
4.2.1 Canales de color RGB.....	8
4.3. Orientación de fotografías.....	12
4.3.1. Traslación de una imagen.....	12
4.3.2. Rotación de una imagen.....	12
4.3.3. Escalado de una imagen.....	12
4.4. Traslape de imágenes.....	15
4.5. Método SIFT para encontrar puntos clave.....	16
4.6. Panorama Stitching.....	23
4.6.1. Matriz de Homografía para superponer imágenes.....	23
4.6.2. Algoritmo Random Sample Consensus (RANSAC) para la eliminación de emparejamientos erróneos.....	26
5. Resultados.	27
5.1. Fotografías.....	27
5.2. Aplicación de los algoritmos.	28
5.3. Matricialmente.	32
5.4. Ortomosaico.	35
5.4.1. Caso 0.	36
5.4.2. Caso 1.	37

5.4.3. Caso 2.	38
5.4.4. Caso 3.	39
5.4.5. Caso 4.	40
5.4.6. Caso 5.	41
5.4.7. Caso 6.	42
5.4.8. Caso 7.	43
5.4.9. Caso 8.	44
5.4.10. Caso 9.	45
5.4.11. Caso 10.	46
5.4.12. Caso 11.	46
5.4.13. Caso 12.	47
5.4.14. Caso 13.	47
5.4.15. Caso 14.	47
Tabla de resultados.	48
Conclusiones.....	49
Referencias.....	50

Índice de Figuras.

Figura 1.	Convolución de matrices.....	8
Figura 2.	Fotografía original.....	9
Figura 3.	Píxeles de una zona de la Figura 2.	9
Figura 4.	Valores de píxeles ampliados de la Figura 3 (c).	10
Figura 5.	Código Python para visualizar píxeles de una imagen.....	10
Figura 6.	Código de canales RGB en Python.	11
Figura 7.	Código de canales GBR.....	11
Figura 8.	Código de canales GRB.....	11
Figura 9.	Código de canales BRG.....	11
Figura 10.	Canales de canales BGR.....	11
Figura 11.	Código de canales RBG con librería OpenCV	11
Figura 12.	Código de escala de grises.....	12
Figura 13.	Código de escala de grises con OpenCV.....	12
Figura 14.	Orientación de una imagen.....	13
Figura 15.	Código en Python para la traslación, rotación y escalado de una imagen.	13
Figura 16.	Figura 2 trasladada.....	14
Figura 17.	Figura 2 rotada.	14
Figura 18.	Figura 2 escalada.	15
Figura 19.	Traslape. (Duarte Jiménez, 2018).....	15
Figura 20.	Diagrama de la metodología del algoritmo SIFT.....	16
Figura 21.	Filtro Gaussiano aplicado a la fotografía de la Figura 2. (a): $\sigma = 5$, (b): $\sigma = 3$, (c): $\sigma = 1$, (d): $\sigma = 0.5$, (e): $\sigma = 0.1$, (f): $\sigma = 0$	17
Figura 22.	Bordes de cada imagen de la Figura 21. (a): $\sigma = 5$, (b): $\sigma = 3$, (c): $\sigma = 1$, (d): $\sigma = 0.5$, (e): $\sigma = 0.1$, (f): $\sigma = 0$	18
Figura 23.	Pirámide de imagen espacial de escala Gaussiana y pirámide DoG. (Figueiras, 2018).	19
Figura 24.	Detección de extremos de espacio de escala en imágenes DoG. (Figueiras, 2018).	19
Figura 25.	Orientación del gradiente. (Figueiras, 2018).	21
Figura 26.	Descriptor de puntos clave. (Figueiras, 2018).....	22

Figura 27.	Emparejamiento de puntos clave entre dos imágenes basado en descriptores locales.	22
Figura 28.	Tipos de homografías.	24
Figura 29.	Representación del algoritmo RANSAC.	27
Figura 30.	Fotografías utilizadas.	28
Figura 31.	(a) f01. (b) f02.	29
Figura 32.	Puntos característicos comunes. Fotografías a 4000x2250 pixeles.	29
Figura 33.	Puntos característicos comunes. Fotografías a 800 x 500 pixeles.	30
Figura 34.	Puntos correlacionados de la Figura 33. (a).	30
Figura 35.	Pixeles de puntos correlacionados de la Figura 33. (a).	31
Figura 36.	Puntos característicos comunes.	32
Figura 37.	Representación de las matrices (a). I1, (b). I2 y (c). I3.	35
Figura 38.	Imagen resultante.	35
Figura 39.	Ortomosaico Caso 0.	36
Figura 40.	Ortomosaico Caso 1.	37
Figura 41.	Ortomosaico Caso 2.	38
Figura 42.	Ortomosaico Caso 3.	39
Figura 43.	Ortomosaico Caso 4.	40
Figura 44.	Ortomosaico Caso 5.	41
Figura 45.	Ortomosaico Caso 6.	42
Figura 46.	Ortomosaico Caso 7.	43
Figura 47.	Ortomosaico Caso 8.	44
Figura 48.	Ortomosaico Caso 9.	45
Figura 49.	Ortomosaico Caso 10.	46
Figura 50.	Ortomosaico. Caso 12.	47

La matemática dentro del modelado en 2D

1. Introducción.

El siguiente trabajo tiene como finalidad conocer y entender los procesos matemáticos que intervienen en la realización de un modelo en 2 dimensiones (2D) de la Universidad Central del Ecuador, para ello, se presenta una descripción general de algunos conceptos matemáticos, algunas propiedades de una imagen representada como una matriz, una explicación teórica general del algoritmo “Transformación de Características Invariantes de Escala” (SIFT por sus siglas en inglés) y su aplicación en lo que se conoce como Panorama Stitching¹ para obtener el ortomosaico² en 2D.

En la actualidad ha incrementado el uso de métodos para el reconocimiento de un objeto en una escena, uno de ellos es el algoritmo SIFT propuesto por Lowe (Lowe, 2011), este ha logrado establecerse como un estándar para dicho propósito debido a su alta precisión y su bajo tiempo de procesamiento.

Existen varios trabajos relacionados con el algoritmo SIFT, como el trabajo de Takacs (Takacs et al., 2008), el cual implementa en un móvil un algoritmo SIFT el cual hace una comparación con ciertas imágenes contenidas en una base de datos arrojando como resultado el nombre del lugar en donde se encuentra, obteniendo resultados satisfactorios, en las condiciones optimas, otro caso, es el trabajo de Zhang (Zhang & Košecká, 2005), el cual uso un enfoque basado en un “histograma de localizador de color” que era usado para limitar la búsqueda en la base de imágenes, con un paso final basado en el algoritmo SIFT, otro, es el de He (He et al., 2006), también utilizó el algoritmo SIFT pero empleo un método de aprendizaje en el tiempo para encontrar “características prototipo” las cuales fueran utilizadas para la localización y solucionar las variaciones que se presentaban conforme a los cambios naturales presentados en el lugar. (Olvera et al., 2013). En Tanzania, una organización Suiza, lo aplicaron para el mapeo de la ciudad con alta definición para rastrear con precisión edificios y carreteras. En Etiopía para mapear fuentes de agua, en Borneo para documentar el uso ilegal de terrenos y entre otras aplicaciones. (Hernández, 2017).

SIFT ha sido utilizado para recuperación de objetos (Sivic y Zisserman, 2003), emparejamiento 3D (Delponte et al., 2006), reconstrucción de escenas 3D (Yun et al., 2007), localización y mapeo de robots (Ogawa et al., 2007), considos de imágenes panorámicas (Ostia, 2006) y seguimiento de movimiento (Battiatto et al., 2007; Battiatto et al., 2009). En cuanto a las aplicaciones en la

¹ El Photo Stitching (puntadas fotográficas en referencia a la costura) consiste en crear una toma panorámica a partir de la concatenación de varias imágenes del mismo paisaje que cubren diferentes áreas del mismo. (Tatay, 2003)

² Un ortomosaico corresponde al conjunto de imágenes tomadas desde una o varias maneras que presentan áreas de traslape entre sí y que son unidas o combinadas en una sola imagen para ampliar el rango de visión de la escena. (Hernández, 2017)

fotogrametría³, destacan el modelado 3D de objetos pequeños (Kalantari y Kassera, 2004), el análisis de seguimiento de características espacio-temporales (Heinrichs et al., 2008), registro de datos de intensidad LIDAR e imágenes aéreas (Abedinia et al., 2008), y el mapeo en tiempo real de UAV (Forstner y Steffen, 2008). (Figueiras, 2018).

Así, este algoritmo es el más empleado como base de la mayoría de softwares actuales que busca automatización en la fotogrametría, tal como describen autores como McCarthy, 2014; Apolonio et al., 2014; Bhandari et al., 2015; Aicardi et al., 2016. Donde, este algoritmo es base para el emparejamiento de imágenes por características, a partir de la detección espacial de puntos característicos de las imágenes, invariantes a cambios de escala y orientación, permitiendo así una correlación automática de múltiples imágenes o multicorrelación (Figueiras, 2018).

Al final de este trabajo en cada uno de los resultados obtenidos se indicará un ortomosaico en 2D de la Universidad Central del Ecuador, los cuales resultan de la aplicación de los algoritmos mencionados en este trabajo junto con algunas de las fotografías aéreas de la UCE.

2. Objetivo General.

Describir de manera general los conceptos matemáticos que intervienen en la generación de un ortomosaico en 2D de la Universidad Central del Ecuador.

3. Materiales y Herramientas.

3.1. Equipo de escritorio/portátil.

- Fabricante: Hewlett-Packard.
- Modelo: Hp Pavillion g6 Notebook PC.
- Procesador: AMD A4-4300M APU with Radeon(tm) HD Graphics. 2.50 GHz.
- RAM instalada: 4,00 GB.
- Memoria de video: 2,00 GB.
- Sistema operativo: Windows 11 Pro 64 bits.

3.2. Software.

Lenguaje de programación: Python, versión .3.9.7.

Software de programación:

- PyCharm, versión 2021.3.3.
- Entorno Anaconda Navigator 3, versión 2021.11.

³ La fotogrametría es la ciencia o técnica cuyo objetivo es el conocimiento de las dimensiones y posición de objetos en el espacio, a través de la medida o medidas realizadas a partir de la intersección de dos o más fotografías. (Instituto Geográfico Agustín Codazzi, 2002)

4. Marco Teórico.

4.1. Conceptos básicos.

4.1.1. Matriz.

Una matriz de m filas y n columnas ($m \times n$) con elementos en \mathbb{R} es un arreglo de la forma:

$$\begin{pmatrix} a_{11} & a_{12} & \cdots & a_{1n} \\ a_{21} & a_{22} & \cdots & a_{2n} \\ \vdots & \vdots & \ddots & \vdots \\ a_{m1} & a_{m2} & \cdots & a_{mn} \end{pmatrix}$$

Donde a_{mn} pertenecen a \mathbb{R} y m, n pertenecen a \mathbb{Z} , en forma abreviada, la matriz anterior puede expresarse como

$$[a_{ij}], \text{ con } i = 1, 2, \dots, m \text{ y } j = 1, 2, \dots, n.$$

4.1.2. Adición de matrices.

Esta operación puede efectuarse cuando las matrices tienen el mismo orden y el resultado se obtiene sumando los elementos correspondientes de ambas matrices de acuerdo a la siguiente definición:

Sean $A = [a_{ij}]$ y $B = [b_{ij}]$ dos matrices de orden $m \times n$ con elementos en \mathbb{R} , la suma $A + B$ es una matriz $S = [s_{ij}]$ de orden $m \times n$ definida por:

$$s_{ij} = a_{ij} + b_{ij}.$$

Para $i = 1, 2, \dots, m$ y $j = 1, 2, \dots, n$.

4.1.3. Sustracción de matrices.

Esta operación puede efectuarse cuando las matrices tienen el mismo orden y el resultado se obtiene restando los elementos correspondientes de ambas matrices de acuerdo a la siguiente definición:

Sean $A = [a_{ij}]$ y $B = [b_{ij}]$ dos matrices de orden $m \times n$ con elementos en \mathbb{R} , la resta $A - B$ es una matriz $R = [r_{ij}]$ de orden $m \times n$ definida por:

$$r_{ij} = a_{ij} - b_{ij}.$$

Para $i = 1, 2, \dots, m$ y $j = 1, 2, \dots, n$.

4.1.4. Multiplicación por un escalar.

Esta operación se define formalmente como:

Sean $A = [a_{ij}]$ una matriz de orden $m \times n$ con elementos en \mathbb{R} y β que pertenece a \mathbb{R} , el producto βA es una matriz $E = [e_{ij}]$ de orden $m \times n$ definida por:

$$e_{ij} = \beta a_{ij}.$$

Para $i = 1, 2, \dots, m$ y $j = 1, 2, \dots, n$.

4.1.5. Multiplicación de matrices.

Sean $A = [a_{ij}]$ y $B = [b_{ij}]$ dos matrices de orden $m \times n$ y $n \times p$ respectivamente, con elementos en \mathbb{R} , el producto AB es una matriz $P = [p_{ij}]$ de orden $m \times p$ definida por:

$$p_{ij} = \sum_{k=1}^n a_{ik} b_{kj}.$$

Para $i = 1, 2, \dots, m$ y $j = 1, 2, \dots, p$.

4.1.6. Convolución de matrices.

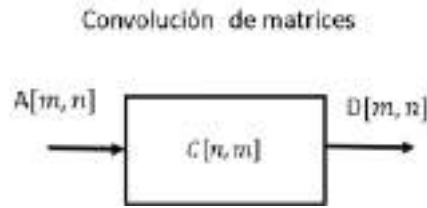


Figura 1. Convolución de matrices.

Sean $A_{m \times n}$ y una matriz $C_{(2N+1) \times (2N+1)}$ con $2N + 1 < m, n$ se define la convolución de las matrices A y C , como una nueva matriz $D = A * C$ definida a partir de la expresión

$$D[m, n] = \sum_i \sum_j A[i, n] \cdot C[i - n, j - m].$$

4.2. Imagen.

Una imagen digital es una matriz de dimensión $m \times n$ compuesta por elementos muy pequeños llamados píxeles, donde cada píxel puede definir solamente un color y el número de píxeles define la dimensión o cantidad de información que contiene una imagen.

4.2.1 Canales de color RGB.

Cualquier color puede ser representado mediante combinaciones de colores rojo, verde y azul, cada uno en diferente proporción, la combinación RGB estándar indica 256 niveles por cada canal.

Así, sabiendo como podemos representar una imagen digital, formaremos una matriz de dimensión $m \times n$, con elementos vectores en donde cada vector está formado por 3 componentes (canales RGB) con valores contenidos en los enteros de 0 a 255 en un intervalo cerrado.

Por ejemplo, la imagen siguiente tiene una dimensión de 4000×2250 píxeles.



Figura 2. Fotografía original.

Tomando una pequeña zona de la fotografía anterior podemos indicar los valores de cada pixel.

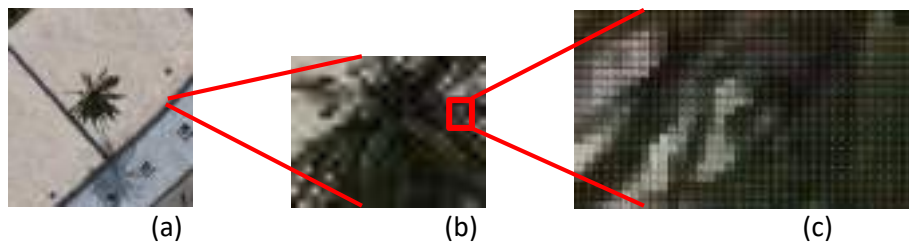


Figura 3. Píxeles de una zona de la Figura 2.

Por ejemplo, de la imagen (c) de la Figura 3 podemos observar los valores siguientes.

98	111	163	161	150	134	96	30	31	30	40	47	77	46	43	74	141	88	80	47	28	27
91	109	162	158	140	120	92	26	27	31	41	68	80	49	46	78	138	88	52	49	28	27
80	97	155	147	136	119	80	14	27	11	24	52	63	33	23	63	130	74	35	36	14	15
98	109	165	147	114	81	32	26	30	42	48	71	88	51	52	158	134	98	31	26	33	31
95	106	154	144	112	63	32	37	31	43	49	72	88	63	54	148	131	100	72	27	33	29
86	97	153	135	100	51	21	23	17	29	38	58	74	49	30	146	122	86	58	17	17	17
119	132	170	118	65	63	59	28	36	41	52	71	85	63	58	151	139	149	47	29	31	37
116	129	167	118	66	63	61	30	38	43	54	73	84	65	58	147	131	148	93	30	32	35
102	120	158	108	54	51	26	17	25	29	36	59	70	51	41	139	127	136	79	14	14	17
114	116	149	78	93	54	39	30	38	46	55	87	87	64	52	149	118	95	28	32	33	51
110	113	90	78	92	96	41	34	42	48	57	91	99	66	54	137	119	36	29	33	63	49
101	104	81	68	80	83	24	28	30	37	44	78	86	53	40	136	105	25	26	17	51	57
100	81	77	55	104	64	33	30	38	38	58	120	85	33	64	139	33	35	39	60	31	48
96	76	75	80	104	70	35	34	42	40	52	122	97	35	62	140	33	35	39	60	93	48
87	67	63	68	92	57	25	24	27	29	41	111	84	54	60	127	31	24	17	48	81	15
71	72	101	117	83	48	37	25	36	58	114	121	89	39	78	107	48	35	43	64	54	36
61	62	90	105	71	30	25	28	30	41	105	112	49	27	69	97	30	22	11	52	46	38
79	151	180	132	58	44	39	37	36	189	156	136	42	48	123	138	61	47	56	39	26	51
84	134	174	128	54	45	40	39	72	190	127	130	42	49	123	138	69	47	56	39	26	51
75	134	162	116	43	31	28	27	58	182	149	128	31	30	113	128	59	27	48	39	18	41
187	188	160	88	43	39	30	63	196	179	188	98	31	60	134	134	138	55	40	25	39	50
179	180	154	80	39	37	39	63	196	179	168	90	31	60	134	134	138	55	42	27	35	52
168	169	142	68	27	24	24	51	184	171	180	82	21	50	124	124	96	25	27	26	24	41
195	170	73	41	38	34	27	24	211	178	188	74	33	64	148	137	133	40	35	26	26	33
187	162	67	35	34	30	25	74	209	175	80	73	33	68	148	137	133	44	37	28	28	35
176	151	58	23	25	30	13	62	197	166	71	83	27	59	138	127	124	39	37	17	17	14
177	67	37	42	42	34	53	107	194	170	68	46	49	136	143	141	71	34	33	31	36	43
169	75	29	36	35	30	49	103	191	167	63	43	46	138	138	138	73	37	36	34	39	46
158	64	14	24	25	25	24	92	182	158	53	44	27	126	131	130	62	24	25	23	24	28
79	35	36	41	42	55	40	166	189	168	58	50	50	106	104	45	37	33	35	32	36	39
74	27	28	34	35	49	92	162	185	168	74	48	70	106	104	47	41	37	39	38	42	45
69	20	17	24	25	27	83	153	176	153	63	30	58	94	92	39	27	27	27	27	27	27

Figura 4. Valores de pixeles ampliados de la Figura 3 (c).

Si utilizamos el siguiente código realizado en Python se puede visualizar cada uno de los valores de los pixeles de los canales RGB en una imagen.

```
import cv2

imagenig = cv2.imread("img1.jpg") # Leer imagen.

cv2.imshow("imagen", imagenig) # Mostrar imagen.
cv2.waitKey(0) # esperar infinito.
cv2.destroyAllWindows()
```

Figura 5. Código Python para visualizar pixeles de una imagen.

Observación: Para poder visualizar los pixeles de una imagen es necesario compilar el código anterior mediante un entorno Anaconda. Pasos: 1. Ejecutar “cmd”. 2. Crear entorno: “conda create name (nombre del entorno)”. 3. Activar entorno: “conda activate (nombre del entorno)”. 4. Instalar openCV en el entorno: “conda install -c conda-forge opencv”. 5. Entrar a la ruta del archivo y ejecutar el archivo. “python (nombre del archivo).py”.

Código de canales RGB en Python.

RBG.

```

im = image.imread(ruta)
[cer, col] = im.size
out = im
i = 0
while i < cer:
    j = 0
    while j < col:
        niveles = im.getpixel((i, j))
        nivel_r = niveles[0]
        nivel_g = niveles[1]
        nivel_b = niveles[2]
        out.putpixel((i, j), (nivel_r, nivel_b, nivel_g))
        j += 1
    i += 1
out.save(r'/Users/nuria/Imagenes/cbg.jpg')
imagen1 = PhotoImage(file=r'/Users/nuria/Imagenes/cbg.gif')
global rgb
rgb = canvas.create_image(0,0, anchor=SW, image=imagen1)
widget.mainloop()

```

Figura 6. Código de canales RGB en Python.

GBR.

```
out.putpixel((i, j), (nivel_g, nivel_b, nivel_r))
```

Figura 7. Código de canales GBR.

GRB.

```
out.putpixel((i, j), (nivel_g, nivel_r, nivel_b))
```

Figura 8. Código de canales GRB.

BRG.

```
out.putpixel((i, j), (nivel_b, nivel_r, nivel_g))
```

Figura 9. Código de canales BRG.

BGR.

```
out.putpixel((i, j), (nivel_b, nivel_g, nivel_r))
```

Figura 10. Canales de canales BGR.

Código de canales RBG con librería OpenCV.

```

import cv2
# Cargar imagen
img = cv2.imread("RUTA-IMAGEN")

# Extraer canales
B, G, R = cv2.split(img)

# Mostrar imagen
cv2.imshow("Imagen Blue", B)
cv2.imshow("Imagen Green", G)
cv2.imshow("Imagen Red", R)

cv2.waitKey(0)
cv2.destroyAllWindows()

```

Figura 11. Código de canales RBG con librería OpenCV

Código de escala de grises.

```

ruta = ("C:/Users/dario/Imagenes/" + im)
im = Image.open(ruta)
im.show()
im2 = im
i = 0
while i < im2.size[0]:
    j = 0
    while j < im2.size[1]:
        r, g, b = im2.getpixel((i, j))
        gris = (r + g + b) / 3
        gris = int(gris)
        pixel = tuple([gris, gris, gris])
        im2.putpixel((i, j), pixel)
        j+=1
    i+=1
im2.show()

```

Figura 12. Código de escala de grises.

Observación: El consumo computacional al ejecutar el código anterior dependerá del tamaño y resolución de la imagen, es decir, entre más grande y más resolución de la imagen el tiempo de compilación será mucho mayor.

Código de escala de grises con librería OpenCV.

```

import cv2
# Imagen Gris
imgGris = cv2.imread("RUTA-IMAGEN", 0)
# Mostrar imagen
cv2.imshow("Imagen Gris", imgGris)
cv2.waitKey(0)
cv2.destroyAllWindows()

```

Figura 13. Código de escala de grises con OpenCV.

4.3. Orientación de fotografías.

4.3.1. Traslación de una imagen.

Es el movimiento de los pixeles de una imagen según un vector de movimiento.

La siguiente transformación muestra el resultado de trasladar el punto (x, y) según un vector de desplazamiento (d_x, d_y) , obteniendo el punto (x', y') .

$$\begin{pmatrix} x' \\ y' \\ 1 \end{pmatrix} = \begin{pmatrix} 1 & 0 & d_x \\ 0 & 1 & d_y \\ 0 & 0 & 1 \end{pmatrix} \begin{pmatrix} x \\ y \\ 1 \end{pmatrix}.$$

4.3.2. Rotación de una imagen.

Es el giro de los pixeles de una imagen en torno al origen de coordenadas. La siguiente transformación muestra el resultado de rotar el punto (x, y) un ángulo θ , obteniendo el punto (x', y') .

$$\begin{pmatrix} x' \\ y' \\ 1 \end{pmatrix} = \begin{pmatrix} \cos(\theta) & -\sin(\theta) & 0 \\ \sin(\theta) & \cos(\theta) & 0 \\ 0 & 0 & 1 \end{pmatrix} \begin{pmatrix} x \\ y \\ 1 \end{pmatrix}.$$

4.3.3. Escalado de una imagen.

Cambia el tamaño de una imagen. La siguiente transformación muestra el resultado de escalar el punto (x, y) en un factor (s_x, s_y) , obteniendo el punto (x', y') .

$$\begin{pmatrix} x' \\ y' \\ 1 \end{pmatrix} = \begin{pmatrix} s_x & 0 & 0 \\ 0 & s_y & 0 \\ 0 & 0 & 1 \end{pmatrix} \begin{pmatrix} x \\ y \\ 1 \end{pmatrix}.$$

Ejemplo:

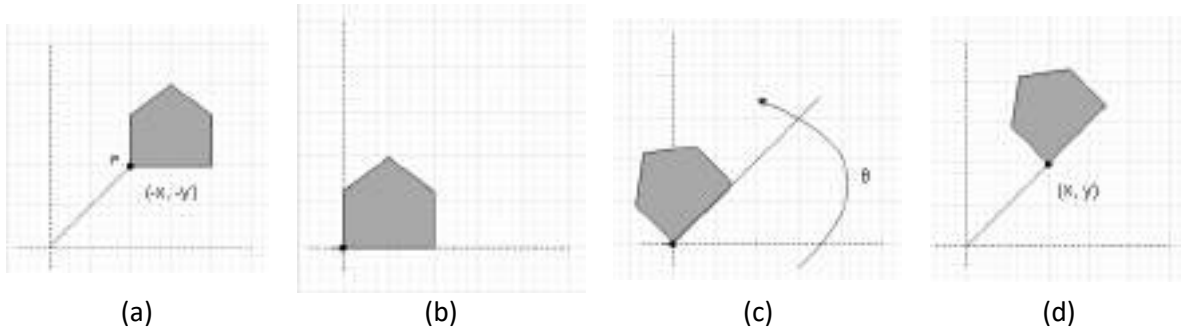


Figura 14. Orientación de una imagen.

- (a) Imagen original que se desea rotar en torno al punto P de coordenadas $(-x, -y)$.
- (b) Resultado de la primera traslación.
- (c) Resultado del giro.
- (d) Resultado final después de la última traslación.

Utilizando el siguiente código en Python y la imagen de la Figura 2, podemos observar la traslación, rotación y escalado de la imagen.

```
import cv2
import numpy as np
import matplotlib

imgorig = cv2.imread("img1.jpg")
# Escalado.
# Ancho: 500, Alto: 500
imgescala = cv2.resize(imgorig, width=600, height=600)
ancho = imgescala.shape[1] # 4" pulgadas.
alto = imgescala.shape[0] # 4" pies.

# Traslación.
# Traslación 100 en "x" y 100 en "y".
M = np.float32([[1, 0, 100], [0, 1, 100]])
imgtrast = cv2.warpAffine(imgescala, M, (ancho, alto))

# Rotación.
# Grado de rotación: 45. # Polar de 1 para la escala.
M1 = cv2.getRotationMatrix2D((ancho/2, alto/2), 45, 1)
imgrot = cv2.warpAffine(imgescala, M1, (ancho, alto))

cv2.imshow("Imagen Traslada", imgtrast)
cv2.imshow("Imagen Rotada", imgrot)
cv2.imshow("Imagen Escalada", imgescala)
cv2.waitKey(0)
```

Figura 15. Código en Python para la traslación, rotación y escalado de una imagen.

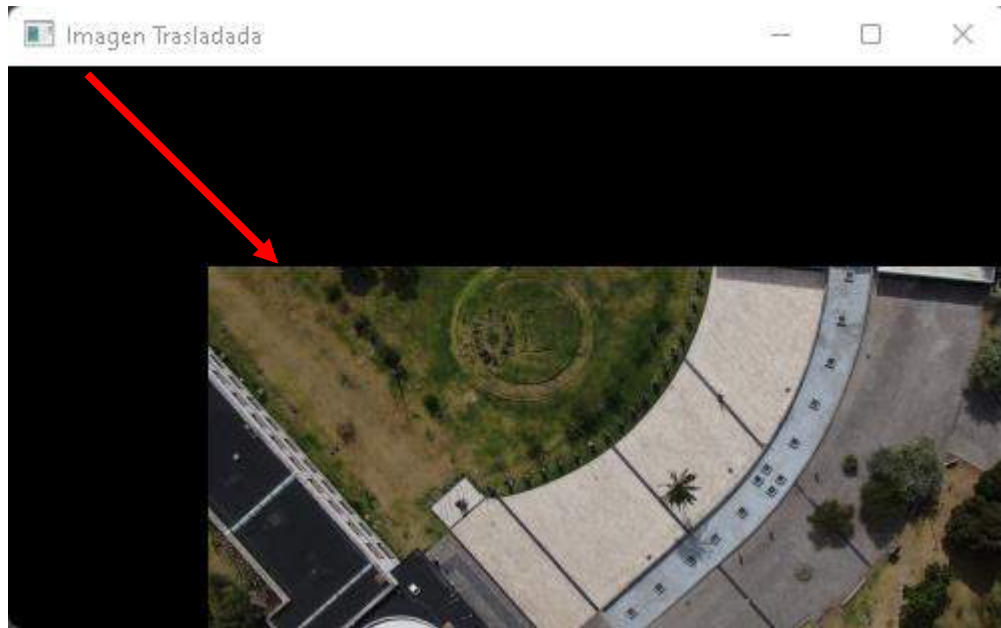


Figura 16. Figura 2 trasladada.

En la Figura 16, observamos que la Figura 2 fue trasladada 100 píxeles respecto a la esquina superior derecha en los ejes x e y.

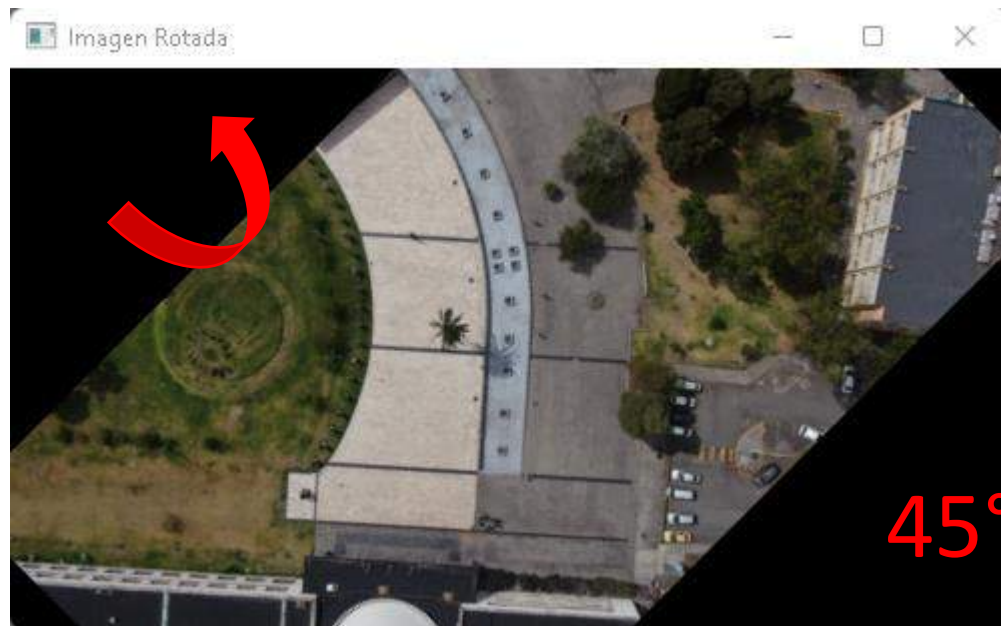


Figura 17. Figura 2 rotada.

En la Figura 17, observamos que la Figura 2 fue rotada a 45 grados.

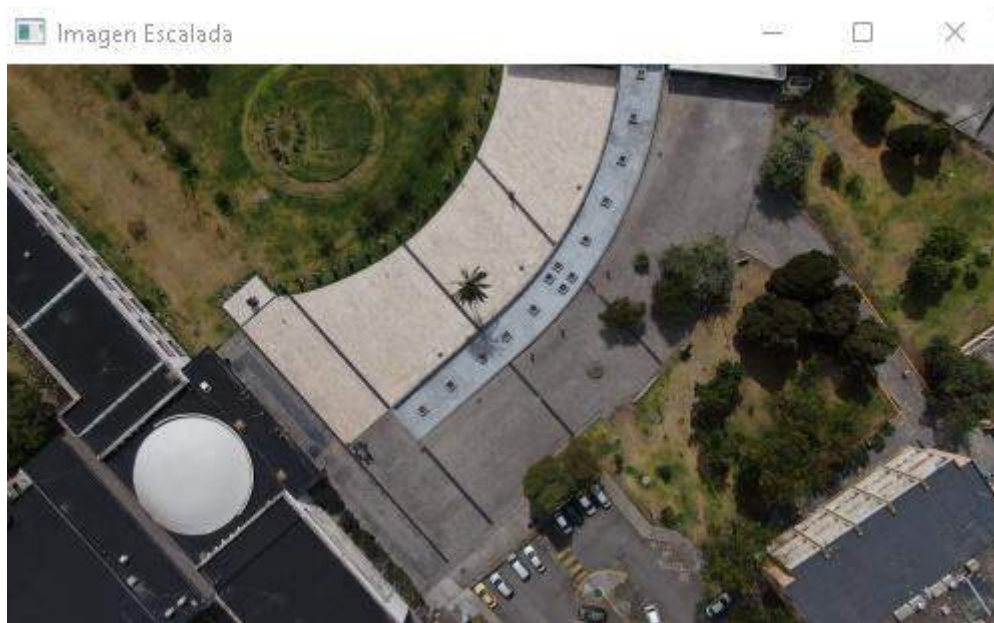


Figura 18. Figura 2 escalada.

La figura anterior es la Figura 2 pero redimensionada a 500×500 píxeles.

4.4. Traslape de imágenes.

Denominamos traslape, solape, superposición o recubrimiento, a la superposición parcial entre foto y foto de manera frontal (Traslape Longitudinal) y lateral (Traslape Transversal) en un determinado porcentaje, de acuerdo a las líneas de vuelo del dron.

En cuanto mayor sea el traslape, se conseguirá una reconstrucción del modelo más preciso, por lo que para terrenos ondulados o abruptos es recomendable considerar porcentajes de traslape mayores a los considerados en terrenos llanos. (Drone, 2019)

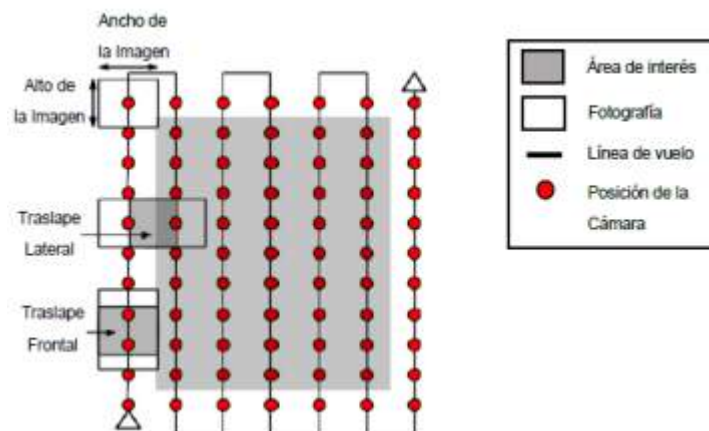


Figura 19. Traslape. (Duarte Jiménez, 2018).

Para realizar el traslape de las fotografías es necesario encontrar puntos de característicos de interés comunes, los cuales son correlacionados y triangulados para determinar la posición de cada uno de los miles o cientos de miles de puntos que conforman la fotografía, y poder formar el ortomosaico.

Así, para encontrar estos puntos característicos nos basaremos en el algoritmo siguiente.

- Transformación de características invariantes de escala. (Scale Invariant Feature Transform - SIFT).

4.5. Método SIFT para encontrar puntos clave.

Como hace mención en su investigación Herigert, para lograr detectar una imagen, en primer lugar es necesario encontrar los puntos clave o de interés que identifiquen de una manera unívoca a cada uno de los objetos de manera de poder encontrarlos nuevamente si estos aparecen en cualquier otra escena.

La idea principal del algoritmo SIFT es la transformación de la imagen a una presentación compuesta de puntos de interés, estos puntos contienen la información característica de la imagen que luego son usados para la detección de muestras. (Olvera et al., 2013).

El algoritmo SIFT detecta una gran cantidad de puntos característicos en cada imagen aplicando cuatro pasos bien estructurados. Estos puntos detectados en todas las fotografías son útiles al momento de querer buscar regiones solapadas, ya que permite comparar unos pocos pixeles entre imágenes para buscar similitudes. (Gómez Ortega, 2018).

Los puntos característicos, se refieren a los puntos donde el valor de gris de la imagen cambia drásticamente o los puntos con mayor curvatura en el borde de la imagen, como puntos de esquina, puntos de borde, puntos brillantes en áreas oscuras y puntos oscuros en áreas brillantes. Estos puntos característicos se extraen para identificar la imagen. (Li et al., 2015).

A continuación, se resume el algoritmo mediante 4 pasos principalmente:

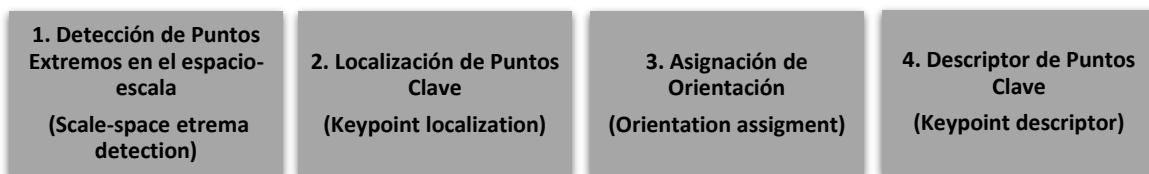


Figura 20. Diagrama de la metodología del algoritmo SIFT.

Paso 1. Detección de puntos extremos en el espacio-escala. Lo primero que se debe realizar es buscar puntos clave (o de interés) en la imagen completa, es decir, puntos que tengan una definición clara y matemáticamente bien fundada, con una posición bien definida en el espacio de la imagen, que posean estructuras de imagen locales alrededor del punto de interés que sean ricas en contenido de información, ser estables bajo deformaciones locales y globales, y que sean lo suficientemente distintos unos de otros. (Gómez Ortega, 2018).

Luego, se representa la imagen en diferentes escalas y tamaños. Se lleva a cabo de manera eficiente mediante el uso de la función de diferencia Gaussiana. Se utiliza este tipo de filtros debido a que la función Gaussiana es invariante a la traslación, a la rotación y al escalado de la misma, para la detección de puntos de interés. Además, elimina el ruido de la imagen. (Olvera et al., 2013).

Koenderink (1984) y Lindeberg (1994) demostraron que bajo una variedad de suposiciones razonables, el único filtro apropiado para estos efectos o núcleo (kernel) de espacio-escala posible es la función de Gauss. Así, el espacio-escala de una imagen se define como una función, $L(x, y, \sigma)$, tal que:

$$L(x, y, \sigma) = G(x, y, \sigma) * I(x, y).$$

Con $I(x, y)$ la imagen entendida como una matriz, $*$ la operación de convolución x e y , y $G(x, y, \sigma)$ la convolución Gaussiana aplicada sobre la imagen:

$$G(x, y, \sigma) = \frac{1}{2\pi\sigma^2} e^{\left(-\frac{x^2+y^2}{2\sigma^2}\right)}.$$

Siendo σ la desviación estándar del filtro Gaussiano. (Figueiras, 2018).

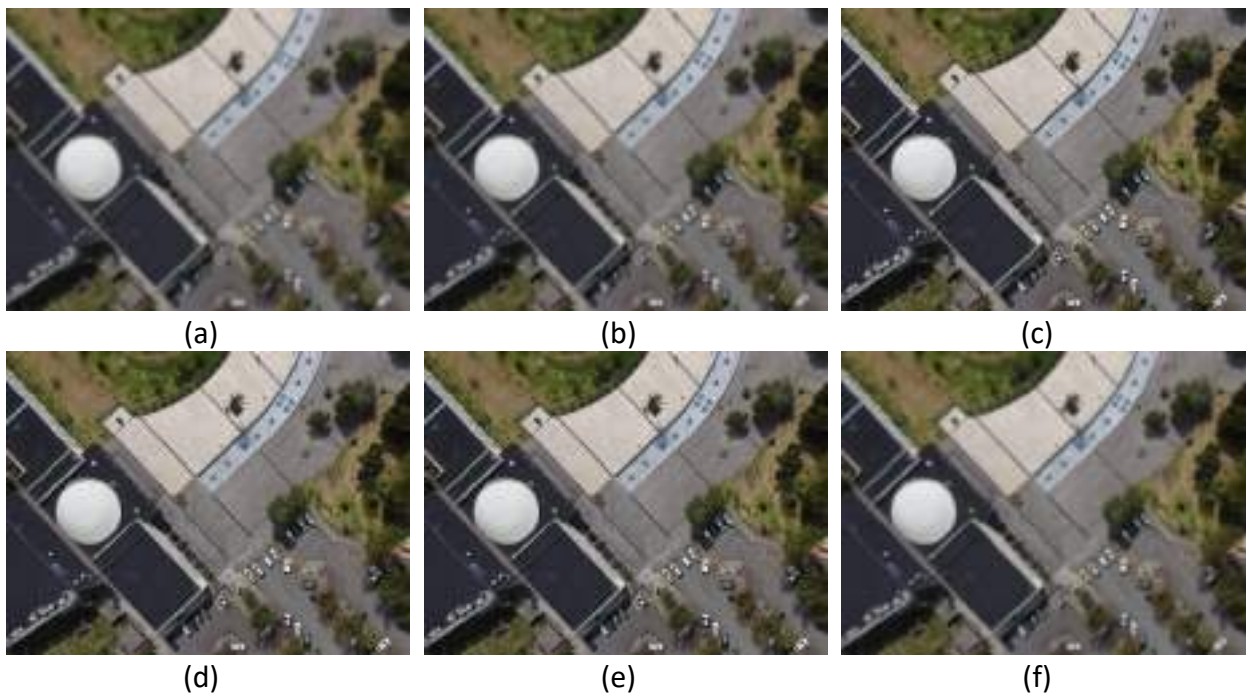


Figura 21. Filtro Gaussiano aplicado a la fotografía de la Figura 2. (a): $\sigma = 5$, (b): $\sigma = 3$, (c): $\sigma = 1$, (d): $\sigma = 0.5$, (e): $\sigma = 0.1$, (f): $\sigma = 0$.

Al aplicar diferentes valores de σ , se observa que cada una de las imágenes tienen un suavizado diferente, en el caso (a) cuando σ sea mayor el suavizado será más profundo, en cambio cuando $\sigma = 0$, el algoritmo calculara el valor de la desviación estándar.

La imagen con la que se trabaja es la convolución entre la imagen original y el filtro Gaussiano. Adicionalmente, se utiliza una distinta desviación estándar para el filtrado de la diferencia de dos filtros Gaussianos.

Para detectar puntos clave en el espacio-escala se propuso (Lowe, 1999) usar extremos del espacio-escala en la función diferencia de Gauss (o DoG) convolucionada con la imagen, $DoG(x, y, \sigma)$, computada mediante la diferencia de dos espacios-escala cercanos separados por un factor multiplicativo k :

$$\begin{aligned} D(x, y, \sigma) &= (G(x, y, k\sigma) - G(x, y, \sigma)) * I(x, y). \\ &= L(x, y, k\sigma) - L(x, y, \sigma). \end{aligned}$$

Encontrando las diferencias positivas y negativas entre los dos valores de σ , se detallan los puntos de borde o de contorno. (Universidad Miguel Hernández de Elche, 2021).

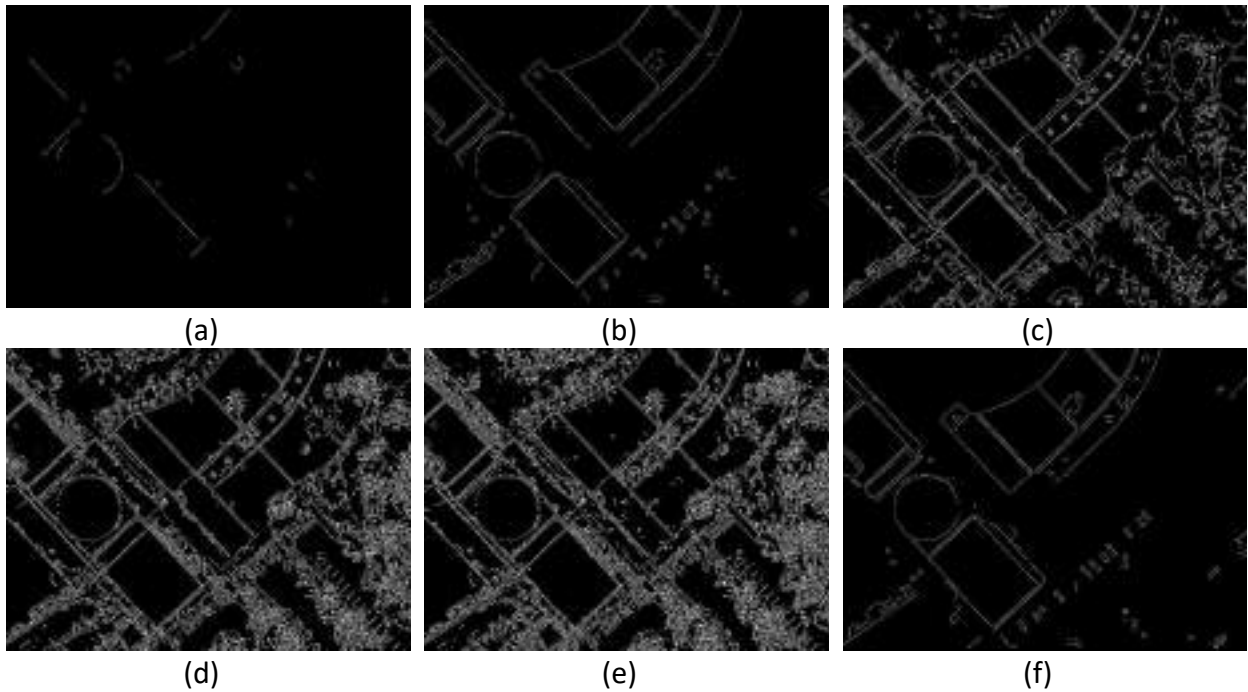


Figura 22. Bordes de cada imagen de la Figura 21. (a): $\sigma = 5$, (b): $\sigma = 3$, (c): $\sigma = 1$, (d): $\sigma = 0.5$, (e): $\sigma = 0.1$, (f): $\sigma = 0$.

Así, el algoritmo SIFT, lo que hace es calcular los puntos de borde a múltiples valores de σ y a múltiples escalas. (Min et al., 2012).

Se realiza a la imagen un número entero s a determinar, de diferencias Gaussianas, incrementando la desviación estándar teniendo en cuenta $k = 2^{1/s}$, lo que da lugar a una octava. Tras ello, la imagen se submuestra tomando 1 de cada 2 píxeles en filas y columnas, y se procede de la misma manera, dando lugar a la siguiente octava. (Figueiras, 2018). De esta manera, se obtiene una pirámide de escalas (octavas) de la imagen, tal como se puede observar en la siguiente figura:

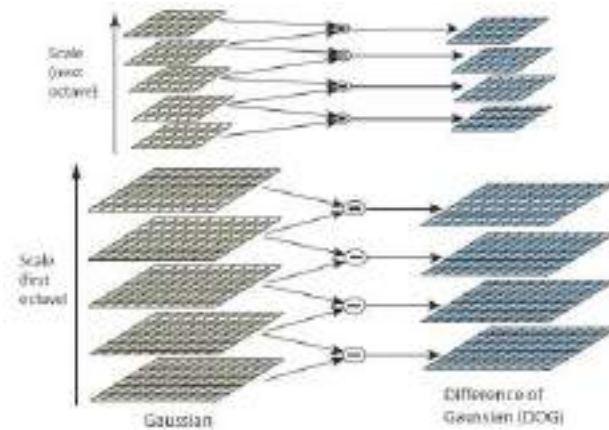


Figura 23. Pirámide de imagen espacial de escala Gaussiana y pirámide DoG. (Figueiras, 2018).

Como se observa en la figura anterior, a la izquierda, el conjunto de imágenes espacio-escala de cada octava tras la convolución Gaussiana para $s = 5$. A la derecha, el conjunto de imágenes resultado de la diferencia de Gauss. Después de cada octava, la imagen Gaussiana se submuestra con un factor de 2 y se repite el proceso.

Ahora, para cada imagen en cada octava de la diferencia de Gauss generada, se buscan los extremos locales, candidatos a puntos clave. Así, para una $D(x, y, \sigma)$ y una escala (octava) determinada, un punto (x_0, y_0) será un máximo o un mínimo relativo si es mayor o menor, respectivamente, a sus 8 puntos vecinos en su nivel y a sus 9 puntos vecinos de los niveles inferior y superior. Esto puede observarse en la figura siguiente. En el caso de las $D(x, y, \sigma)$ de transición entre octavas, se comparan con los puntos vecinos del nivel superior e inferior. (Figueiras, 2018).

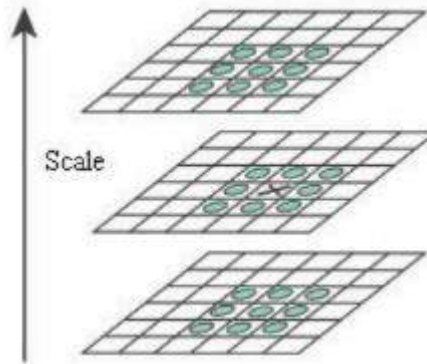


Figura 24. Detección de extremos de espacio de escala en imágenes DoG. (Figueiras, 2018).

La figura anterior representa la detección de la máxima o mínima diferencia de Gauss, comparando cada píxel (marcado con X) con sus 26 vecinos en las regiones 3x3 de los niveles adyacentes.

Demostración de la invarianza en la escala:

La función diferencia de Gauss proporciona una aproximación al Laplaciano o Gaussiano normalizado en escala, $\sigma^2 \nabla^2 G$, ya estudiado por Lindeberg (1994). Él mismo detalla que se

requiere la normalización del Laplaciano con el factor σ^2 , para garantizar invarianza en la escala. Además, Mikilajczyk (2002) encontró que el máximo y mínimo de $\sigma^2 \nabla^2 G$ produce la mayor estabilidad en las características de la imagen. La relación entre la diferencia de Gauss D y $\sigma^2 \nabla^2 G$ se entiende mediante la ecuación paramétrica:

$$\frac{\partial G}{\partial \sigma} = \sigma \nabla^2 G.$$

De la ecuación anterior, se deduce que $\nabla^2 G$ puede ser calculado como aproximación de la diferencia finita a $\frac{\partial G}{\partial \sigma}$, usando la diferencia entre espacio-escala en $k\sigma$ y σ :

$$\sigma \nabla^2 G = \frac{\partial G}{\partial \sigma} \approx \frac{G(x, y, k\sigma) - G(x, y, \sigma)}{k\sigma - \sigma}.$$

De ahí:

$$G(x, y, k\sigma) - G(x, y, \sigma) \approx (k - 1)\sigma^2 \nabla^2 G.$$

De ello, se deduce que cuando la función de diferencia de Gauss tiene espacios-escala que difieren un factor constante k , entonces incorpora el factor de normalización de escala σ^2 requerido para el Laplaciano invariante en escala.

Paso 2. Localización de puntos clave. Entre los puntos encontrados en el paso anterior, también se encuentran puntos de bajo contraste, inestables a cambios e iluminación y ruido. Para eliminarlos, se procede como sigue. Se estima la función diferencia de Gauss entorno a un punto $x_0 = (x_0, y_0, \sigma_0)^t$, mediante una serie de Taylor de grado 2:

$$D(X) = D + \frac{\partial D^t}{\partial X} X + \frac{1}{2} X^t \frac{\partial^2 D}{\partial X^2}.$$

Con D y sus derivadas elevadas siempre en x_0 .

Derivando la ecuación anterior, igualando a 0 y simplificando, se obtiene:

$$\bar{X} = -\frac{\partial^2 D^{-1}}{\partial X^2} \frac{\partial D}{\partial X}.$$

Sustituyendo la ecuación anterior en la primera y simplificando se obtiene el valor del máximo local:

$$D(\bar{X}) = D + \frac{1}{2} \frac{\partial D^t}{\partial X} \bar{X}.$$

El criterio es, si $|D(\bar{X})| < 0.03$, el punto es eliminado de la lista de puntos clave.

Tras eliminar los puntos de bajo contraste, hay que quitar los puntos situados a lo largo de bordes. Para ello, se procede de manera análoga al algoritmo de Harris (Harris, 1988). Esto es, sea H la

matriz Hessiana de $D(x, y, \sigma)$ evaluada en un punto (x_0, y_0, σ_0) del espacio-escala, se tendrá un borde, si sus autovalores α y β , son uno grande y otro pequeño, o lo que es lo mismo:

$$\text{Traza}(H) = \frac{\partial^2 D}{\partial x^2} + \frac{\partial^2 D}{\partial y^2} = \alpha + \beta.$$

$$\text{Det}(H) = \frac{\partial^2 D}{\partial x^2} \times \frac{\partial^2 D}{\partial y^2} = \alpha \cdot \beta.$$

Denominando $\alpha = r \cdot \beta$, la condición se reduce a:

$$\frac{\text{Traza}(H)^2}{\text{Det}(H)} < \frac{(r + 1)^2}{r}.$$

Tras varios experimentos, Lowe (2004) propone un umbral de $r = 10$. (Figueiras, 2018).

Paso 3. Asignación de la orientación.

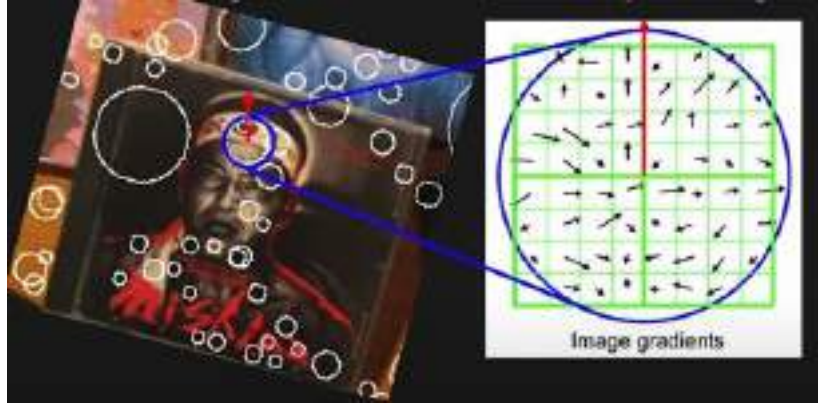


Figura 25. Orientación del gradiente. (Figueiras, 2018).

Mediante la asignación de orientación a cada punto clave de la imagen basada en características locales de la misma, se pueden lograr características invariantes a las rotaciones. Así pues, para cada punto de la imagen filtrada $L(x, y, \sigma)$, se puede determinar su gradiente $m(x, y)$ y fase $\theta(x, y)$, mediante diferencias entre píxeles:

$$m(x, y) = \sqrt{(L(x + 1, y) - L(x - 1, y))^2 + (L(x, y + 1) - L(x, y - 1))^2}.$$

$$\theta(x, y) = \text{tg}^{-1} \left((L(x, y + 1) - L(x, y - 1)) / (L(x + 1, y) - L(x - 1, y)) \right).$$

Para determinar la orientación precisa de cada punto clave, se selecciona una región de 16x16 píxeles alrededor del punto, y de cada píxel se calcula su gradiente y fase. Con ello, se genera un histograma de direcciones, ponderado por una ventana de Gauss circular en torno al punto clave, de $\sigma_{h1} = 1.5 * (\text{Nivel espacio_escala})$. El máximo en el histograma corresponde a una dirección dominante en el gradiente local que será asignada al punto clave. (Figueiras, 2018).

Paso 4. Descriptor de puntos clave: Tras la asignación a cada punto clave de una escala, localización y orientación, lo siguiente es determinar para cada punto clave un descriptor relativamente invariante a cambios de iluminación y transformaciones afines. Ahora, una ventana Gaussiana de $\sigma_{h2} = 0.5$ centrada en el punto clave ya orientado, pondera los valores de su módulo y fase a partir de subregiones de 4×4 píxeles, obteniéndose 16 subregiones con 8 direcciones distintas cada una, tal como se muestra en la figura siguiente. La longitud de cada dirección corresponde con la suma de las magnitudes de los gradientes cercanos a esa dirección dentro de cada subregión. Así, se tiene para cada punto clave, un descriptor de $4 \cdot 4 \cdot 8 = 128$ elementos. (Figueiras, 2018).

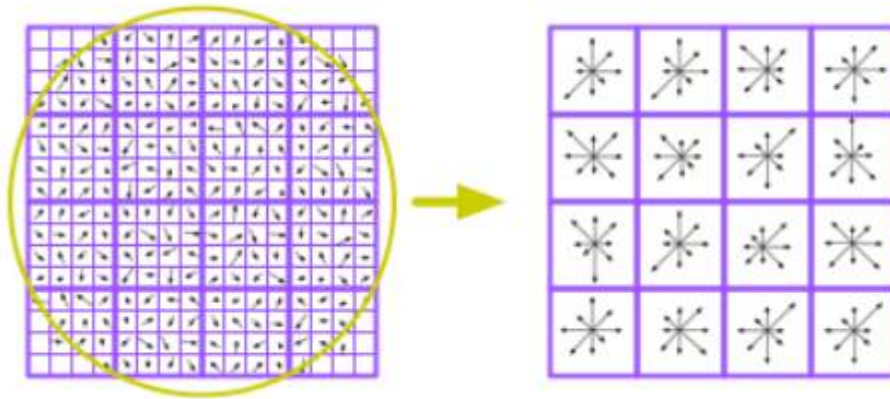


Figura 26. Descriptor de puntos clave. (Figueiras, 2018).

A la izquierda de la imagen anterior se indica los gradientes de la ventana circular de 16×16 píxeles. A la derecha el descriptor SIFT para un punto clave, con 8 direcciones por cada subregión de 4×4 píxeles.

Una vez que se tienen identificados los puntos característicos y representados por descriptores, para cada par de imágenes que comparten información, según ya fue identificado en la sección anterior, se buscan correspondencias entre sí, proceso llamado emparejamiento de puntos claves.

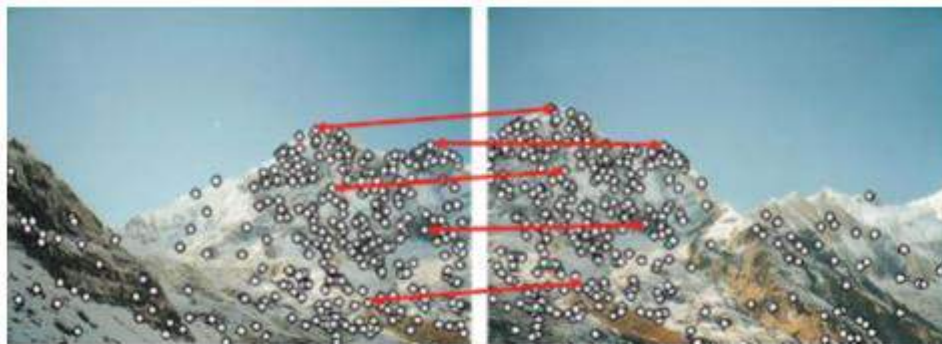


Figura 27. Emparejamiento de puntos clave entre dos imágenes basado en descriptores locales.

El objetivo de esta fase es emparejar los puntos encontrados de una imagen con los de las demás, utilizando como comparador los vectores de características como se indica en la figura anterior. Esto permite inferir qué imágenes están solapadas e identificar así qué puntos corresponden a la misma información de la escena fotografiada. Para este fin se define una medida de distancia entre los descriptores de los puntos de interés y generalmente, el desempeño del método depende tanto de las propiedades del punto como de la elección del descriptor de la imagen. (Gómez Ortega, 2018).

Para abordar este problema se define $F(I)$ como el conjunto de características encontradas en la imagen I . Para cada par de imágenes I y J , el sistema considera cada descriptor $f \in F(I)$ y encuentra su vecino más cercano (en el espacio de los descriptores) $f_{nn} \in F(J)$ como:

$$f_{nn} = \arg \min_{f \in F(J)} \|f - f_I\|_2.$$

Para encontrar el argumento que minimiza la expresión se calcula la distancia euclidiana entre cada par posible, obteniendo así el emparejamiento entre ambos descriptores. Luego de emparejar las características de I y J , cada característica $f \in F(I)$ será emparejada con a lo más una característica en $F(J)$, y algunos de estos emparejamientos pueden estar equivocados. Si luego de este proceso, un par de imágenes posee menos que un mínimo de emparejamientos, las imágenes se consideran que no calzan, y todos los emparejamientos son removidos de estas.

4.6. Panorama Stitching.

4.6.1. Matriz de Homografía para superponer imágenes.

Una homografía corresponde a cualquier transformación proyectiva que genere una correspondencia entre dos figuras geométricas planas (fotografías), tal que a cada punto de ellas le corresponda un punto de la otra. Para definir cómo se realiza esta relación geométrica hay que representar los puntos de una imagen de la siguiente manera: Un punto (x, y) en una imagen puede representarse por un vector $P = (p_1, p_2, p_3)$, donde $x = \frac{p_1}{p_3}$ e $y = \frac{p_2}{p_3}$, lo que se llama representación homogénea de un punto. La homografía entre dos puntos equivalentes P' y P de dos figuras se calcula como $P' = HP$, donde P' corresponde a un punto de una imagen emparejado con el punto P de la otra, y H corresponde a la matriz de homografía. Si se realiza esta transformación con la matriz adecuada sobre dos imágenes completas que compartan información, se puede lograr superponer las fotografías para generar el ortomosaico. Esto significa que para calcular la homografía que mapea un punto P a su correspondiente P' en otra imagen, basta con calcular la matriz de homografía de 3×3 . (Gómez Ortega, 2018).

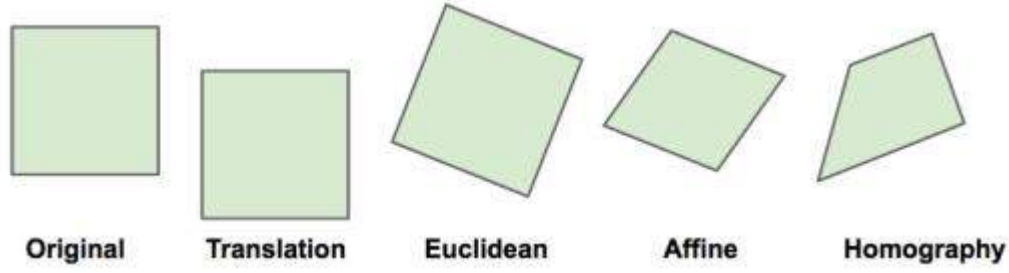


Figura 28. Tipos de homografías.

Una homografía puede tener distintos tipos de transformaciones visuales según los grados de libertad que esta tenga. El primer caso es la original, luego la traslación con 2 grados de libertad, la transformación euclidiana para 3 grados de libertad, transformación afín para 6 grados de libertad y homografía para 8 grados de libertad.

La matriz H produce proyecciones invariables en escala, demostración que se hará a continuación. Para ello se debe probar que la coordenada (x, y) obtenida por el vector P' generado por la proyección $P'_a = HP$ es el mismo que el generado por $P'_b = \lambda HP$. C

$$P'_a = \begin{pmatrix} p'_{a1} \\ p'_{a2} \\ p'_{a3} \end{pmatrix} = \begin{pmatrix} H_{11} & H_{12} & H_{13} \\ H_{21} & H_{22} & H_{23} \\ H_{31} & H_{32} & H_{33} \end{pmatrix} \begin{pmatrix} p_1 \\ p_2 \\ p_3 \end{pmatrix}.$$

$$P'_a = \begin{pmatrix} H_{11}p_1 + H_{12}p_2 + H_{13}p_3 \\ H_{21}p_1 + H_{22}p_2 + H_{23}p_3 \\ H_{31}p_1 + H_{32}p_2 + H_{33}p_3 \end{pmatrix}.$$

$$x'_a = \frac{p'_{a1}}{p'_{a3}} = \frac{H_{11}p_1 + H_{12}p_2 + H_{13}p_3}{H_{31}p_1 + H_{32}p_2 + H_{33}p_3}.$$

$$y'_a = \frac{p'_{a2}}{p'_{a3}} = \frac{H_{21}p_1 + H_{22}p_2 + H_{23}p_3}{H_{31}p_1 + H_{32}p_2 + H_{33}p_3}.$$

Luego, se realiza el mismo procedimiento para el punto P'_b para verificar la igualdad:

$$P'_b = \begin{pmatrix} p'_{b1} \\ p'_{b2} \\ p'_{b3} \end{pmatrix} = \lambda \begin{pmatrix} H_{11} & H_{12} & H_{13} \\ H_{21} & H_{22} & H_{23} \\ H_{31} & H_{32} & H_{33} \end{pmatrix} \begin{pmatrix} p_1 \\ p_2 \\ p_3 \end{pmatrix}.$$

$$P'_b = \begin{pmatrix} \lambda H_{11}p_1 + \lambda H_{12}p_2 + \lambda H_{13}p_3 \\ \lambda H_{21}p_1 + \lambda H_{22}p_2 + \lambda H_{23}p_3 \\ \lambda H_{31}p_1 + \lambda H_{32}p_2 + \lambda H_{33}p_3 \end{pmatrix}.$$

$$x'_b = \frac{p'_{b1}}{p'_{b3}} = \frac{\lambda H_{11}p_1 + \lambda H_{12}p_2 + \lambda H_{13}p_3}{\lambda H_{31}p_1 + \lambda H_{32}p_2 + \lambda H_{33}p_3} = \frac{H_{11}p_1 + H_{12}p_2 + H_{13}p_3}{H_{31}p_1 + H_{32}p_2 + H_{33}p_3} = x'_a.$$

$$y'_b = \frac{p'_{b2}}{p'_{b3}} = \frac{\lambda H_{21}p_1 + \lambda H_{22}p_2 + \lambda H_{23}p_3}{\lambda H_{31}p_1 + \lambda H_{32}p_2 + \lambda H_{33}p_3} = \frac{H_{21}p_1 + H_{22}p_2 + H_{23}p_3}{H_{31}p_1 + H_{32}p_2 + H_{33}p_3} = y'_a.$$

Demostrando finalmente que la matriz H genera la misma proyección independiente de la escala. Esto permite que se pueda definir esta matriz con solo 8 grados de libertad.

$$H = \begin{pmatrix} H_{11} & H_{12} & H_{13} \\ H_{21} & H_{22} & H_{23} \\ H_{31} & H_{32} & 1 \end{pmatrix}.$$

Ya definida la matriz de homografía y sus propiedades más importantes, junto al uso que puede tener en la generación del ortomosaico, es necesario entender cómo se puede estimar. Considerando que la H posee 8 grados de libertad, son 8 las incógnitas a resolver por pares de imágenes. Con todo esto en consideración, se procede a desarrollar las ecuaciones según pares de emparejamientos (X_i, Y_i) y (X'_i, Y'_i) a partir de la relación $P' = HP$, donde $P'_i = (x'_i, y'_i, w'_i)$, $P_i = (x_i, y_i, w_i)$, $X'_i = \frac{x'_i}{w'_i}$, $Y'_i = \frac{y'_i}{w'_i}$, $X_i = \frac{x_i}{w_i}$, e $Y_i = \frac{y_i}{w_i}$. Con esto se representan los vectores P y P' de la siguiente manera.

$$P'_i = \begin{pmatrix} X'_i \cdot w'_i \\ Y'_i \cdot w'_i \\ w'_i \end{pmatrix}.$$

$$P_i = \begin{pmatrix} X_i \cdot w_i \\ Y_i \cdot w_i \\ w_i \end{pmatrix}.$$

Reemplazando en la relación $P'_i = HP_i$, se tiene:

$$\begin{pmatrix} X'_i \cdot w'_i \\ Y'_i \cdot w'_i \\ w'_i \end{pmatrix} = \begin{pmatrix} H_{11} & H_{12} & H_{13} \\ H_{21} & H_{22} & H_{23} \\ H_{31} & H_{32} & 1 \end{pmatrix} \begin{pmatrix} X_i \cdot w_i \\ Y_i \cdot w_i \\ w_i \end{pmatrix}.$$

Luego, desarrollando la multiplicación:

$$\begin{pmatrix} X'_i \cdot w'_i \\ Y'_i \cdot w'_i \\ w'_i \end{pmatrix} = \begin{pmatrix} X_i \cdot w_i \cdot H_{11} + Y_i \cdot w_i \cdot H_{12} + w_i \cdot H_{13} \\ X_i \cdot w_i \cdot H_{21} + Y_i \cdot w_i \cdot H_{22} + w_i \cdot H_{23} \\ X_i \cdot w_i \cdot H_{31} + Y_i \cdot w_i \cdot H_{32} + w_i \end{pmatrix}.$$

Finalmente:

$$\begin{cases} X'_i = \frac{X'_i \cdot w'_i}{w'_i} = \frac{X_i \cdot w_i \cdot H_{11} + Y_i \cdot w_i \cdot H_{12} + w_i \cdot H_{13}}{X_i \cdot w_i \cdot H_{31} + Y_i \cdot w_i \cdot H_{32} + w_i} = \frac{X_i \cdot H_{11} + Y_i \cdot H_{12} + H_{13}}{X_i \cdot H_{31} + Y_i \cdot H_{32} + 1} \\ Y'_i = \frac{Y'_i \cdot w'_i}{w'_i} = \frac{X_i \cdot w_i \cdot H_{21} + Y_i \cdot w_i \cdot H_{22} + w_i \cdot H_{23}}{X_i \cdot w_i \cdot H_{31} + Y_i \cdot w_i \cdot H_{32} + w_i} = \frac{X_i \cdot H_{21} + Y_i \cdot H_{22} + H_{23}}{X_i \cdot H_{31} + Y_i \cdot H_{32} + 1} \end{cases}$$

$$\Rightarrow \begin{cases} X'_i \cdot (X_i \cdot H_{31} + Y_i \cdot H_{32} + 1) = X_i \cdot H_{11} + Y_i \cdot H_{12} + H_{13} \\ Y'_i \cdot (X_i \cdot H_{31} + Y_i \cdot H_{32} + 1) = X_i \cdot H_{21} + Y_i \cdot H_{22} + H_{23} \end{cases}$$

$$\Rightarrow \begin{cases} X_i \cdot H_{11} + Y_i \cdot H_{12} + H_{13} - X'_i X_i \cdot H_{31} - X'_i Y_i \cdot H_{32} = X'_i \\ X_i \cdot H_{21} + Y_i \cdot H_{22} + H_{23} - Y'_i X_i \cdot H_{31} - Y'_i Y_i \cdot H_{32} = Y'_i \end{cases}$$

Obteniendo dos ecuaciones lineales con las coordenadas originales de las imágenes. Si esto se aplica para cuatro emparejamientos, se tendrá un conjunto de 8 ecuaciones, lo que permite resolver el sistema y obtener así la matriz de homografía H que proyecta una imagen en el plano de la otra. Con esto se puede armar el siguiente sistema de ecuaciones lineales de forma matricial, el que se puede resolver fácilmente (Gómez Ortega, 2018).

$$\begin{pmatrix} X_1 & Y_1 & 1 & 0 & 0 & 0 & -X_1X'_1 & -X'_1Y_1 \\ 0 & 0 & 0 & X_1 & Y_1 & 1 & -X_1Y'_1 & -Y_1Y'_1 \\ X_2 & Y_2 & 1 & 0 & 0 & 0 & -X_2X'_2 & -X'_2Y_2 \\ 0 & 0 & 0 & X_2 & Y_2 & 1 & -X_2Y'_2 & -Y_2Y'_2 \\ X_3 & Y_3 & 1 & 0 & 0 & 0 & -X_3X'_3 & -X'_3Y_3 \\ 0 & 0 & 0 & X_3 & Y_3 & 1 & -X_3Y'_3 & -Y_3Y'_3 \\ X_4 & Y_4 & 1 & 0 & 0 & 0 & -X_4X'_4 & -X'_4Y_4 \\ 0 & 0 & 0 & X_4 & Y_4 & 1 & -X_4Y'_4 & -Y_4Y'_4 \end{pmatrix} \begin{pmatrix} H_{11} \\ H_{12} \\ H_{13} \\ H_{21} \\ H_{22} \\ H_{23} \\ H_{31} \\ H_{32} \end{pmatrix} = \begin{pmatrix} X'_1 \\ Y'_1 \\ X'_2 \\ Y'_2 \\ X'_3 \\ Y'_3 \\ X'_4 \\ Y'_4 \end{pmatrix}.$$

4.6.2. Algoritmo Random Sample Consensus (RANSAC) para la eliminación de emparejamientos erróneos.

El algoritmo RANSAC es un enfoque de estimación de parámetros generales diseñado para encontrar y eliminar valores atípicos en una serie de datos explicados por un modelo, para el tema de este trabajo, la matriz de homografía. RANSAC es una técnica que genera candidatos de solución utilizando la menor cantidad de datos (emparejamientos) posibles, los necesarios para estimar el modelo que subyace en el problema. (Gómez Ortega, 2018). El algoritmo tiene la siguiente estructura:

1. Se seleccionan aleatoriamente los puntos requeridos para determinar los parámetros del modelo.
2. Se obtiene el modelo con los puntos seleccionados.
3. Se calcula cuántos puntos del conjunto completo calzan bien en el modelo con cierto nivel de tolerancia.
4. Si la fracción de inliers sobre el total de puntos supera cierto umbral, se reestima el modelo con estos puntos y se eliminan los outliers. De lo contrario, se repite desde el paso 1 al 4 un número determinado de veces, quedándose con el mejor modelo.

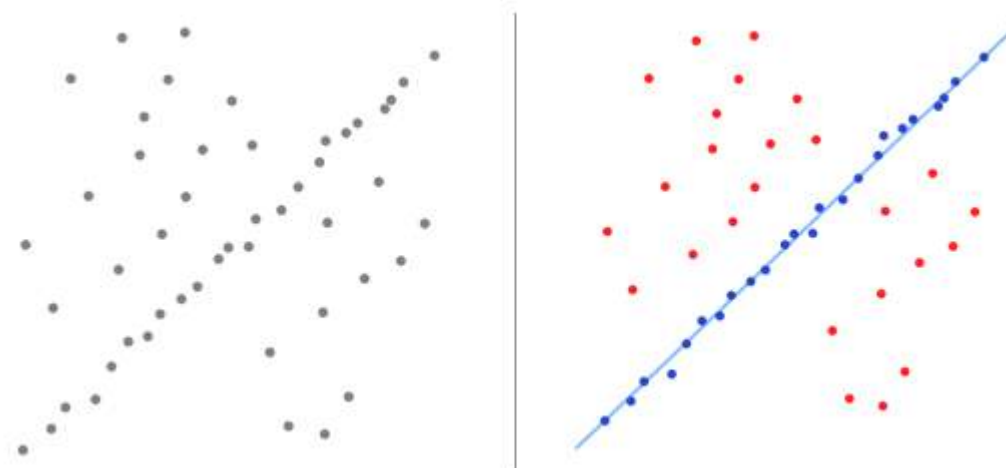


Figura 29. Representación del algoritmo RANSAC.

A la izquierda se tiene un conjunto de datos con distintos valores atípicos. En la derecha el algoritmo RANSAC encuentra un modelo que explica la mayoría de los datos y permite identificar cuáles son los valores atípicos.

5. Resultados.

A continuación se explicará los resultados obtenidos teniendo en consideración el número de fotografías necesarias para determinar cuáles son las fotografías que deberían poseer solapamiento para generar el ortomosaico de la Universidad Central del Ecuador.

Se comienza trabajando con las imágenes en bruto y posteriormente redimensionadas, luego, utilizando los métodos y algoritmos anteriormente descritos, se buscan sobre estas imágenes cuáles son las que comparten información para poder modificar la imagen ya sea rotándola, modificando su escala, o estirándola, para que al superponerlas se empiece a crear el ortomosaico. Después se realiza una adecuación de las imágenes para que los bordes de éstas al superponerse sobre otra no se noten y se vea una fotografía más homogénea, obteniendo así, el ortomosaico.

5.1. Fotografías.

Como componente principal para la obtención del ortomosaico se utilizó 30 fotografías, con dimensiones de 4000×2250 píxeles:





Figura 30. Fotografías utilizadas.

5.2. Aplicación de los algoritmos.

Los algoritmos realizados en la sección anterior, además de permitir que las imágenes estén bien adecuadas para la generación del ortomosaico, están pensados para reducir la cantidad de procesamiento que se tendría que hacer en los pasos posteriores. El paso siguiente consiste en encontrar la relación que poseen las imágenes entre sí de manera más detallada, interesando cuáles son las que se encuentran solapadas. Para ello se detectan los puntos característicos de cada imagen; se emparejan estos entre pares de imágenes; y finalmente se realiza una verificación para eliminar aquellos emparejamientos erróneos.

El algoritmo SIFT es aquel que presenta mejor rendimiento en la búsqueda de puntos comunes en imágenes aéreas superpuestas. Los resultados positivos que este tiene se asocian a su invarianza tanto de rotación como de escala. Además de las ubicaciones de los puntos clave, SIFT proporciona un descriptor local para cada punto clave, haciendo que una imagen contenga varios miles de puntos clave SIFT como se explicó en el marco teórico.

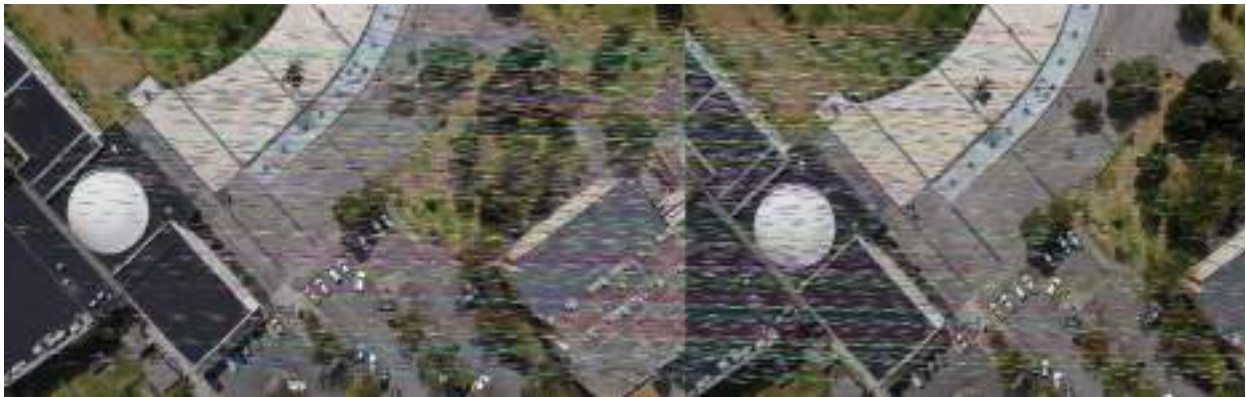
A continuación se indican los pasos realizados para obtener algunos resultados de aplicar este algoritmo junto con algunas fotografías de la Universidad Central del Ecuador.

1. Cargar 2 fotografías.
2. Elegir dimensión de fotografías.
3. Aplicar algoritmo SIFT (encuentra puntos característicos y los une con líneas con diferente color).
 - a. Detección de puntos extremos en el espacio-escala.
 - b. Localización de puntos clave.
 - c. Asignación de orientación.
 - d. Descriptor de puntos clave.
4. Aplicar método Panorama Stitching.
5. Resultado (ortomosaico).

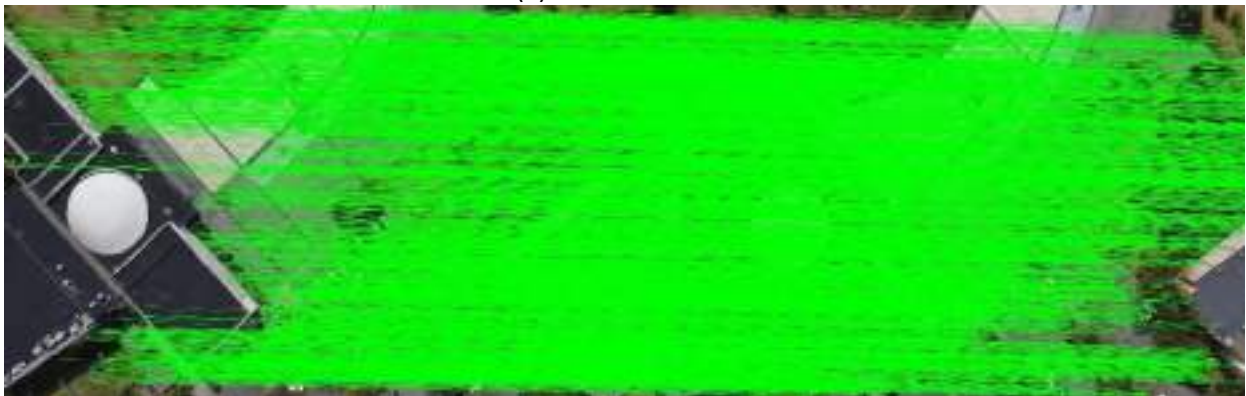
Se utilizaron las fotografías f01, f02 de la Figura 30, con dimensiones originales de 4000×2250 píxeles.



Figura 31. (a) f01. (b) f02.



(a) Procedimiento 1.



(b) Procedimiento 2

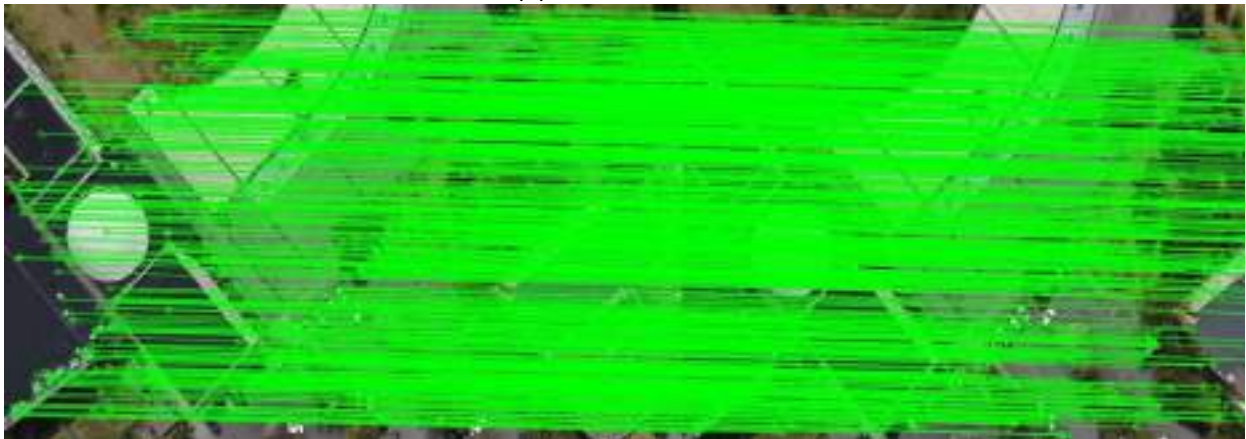
Figura 32. Puntos característicos comunes. Fotografías a 4000x2250 píxeles.

En la Figura 30, podemos observar que utilizando dos procesos diferentes y fotografías con 4000×2250 píxeles, los puntos característicos comunes son en gran cantidad y cada una de las líneas que se observa corresponden a una coincidencia excelente.

Por otro lado, se utilizaron las mismas fotografías f01, f02 de la Figura 30, pero redimensionadas a 800×500 píxeles.



(a) Procedimiento 1.



(b) Procedimiento 2

Figura 33. Puntos característicos comunes. Fotografías a 800 x 500 píxeles.

En la Figura 33 podemos observar que utilizando dos procesos diferentes y fotografías redimensionadas a 800×500 píxeles, los puntos característicos comunes difieren en la cantidad, es decir, el número de puntos característicos comunes es menor en comparación con la Figura 32, debido al redimensionamiento de la fotografía. Además, se observa una coincidencia satisfactoria ya que hay líneas diagonales que se unen con puntos diferentes.

Si elegimos dos puntos P1 y P2 correlacionados de la Figura 33. (a), representados de color rojo como se indica en la figura siguiente, podemos observar que son los mismos puntos en cada fotografía.



Figura 34. Puntos correlacionados de la Figura 33. (a).

Pero, se observa en la figura anterior, que existe un desplazamiento del punto P1 al punto P2, debido al movimiento del dron para realizar la fotografía es por ello que el valor de cada píxel varía, como se representa en la figura siguiente.

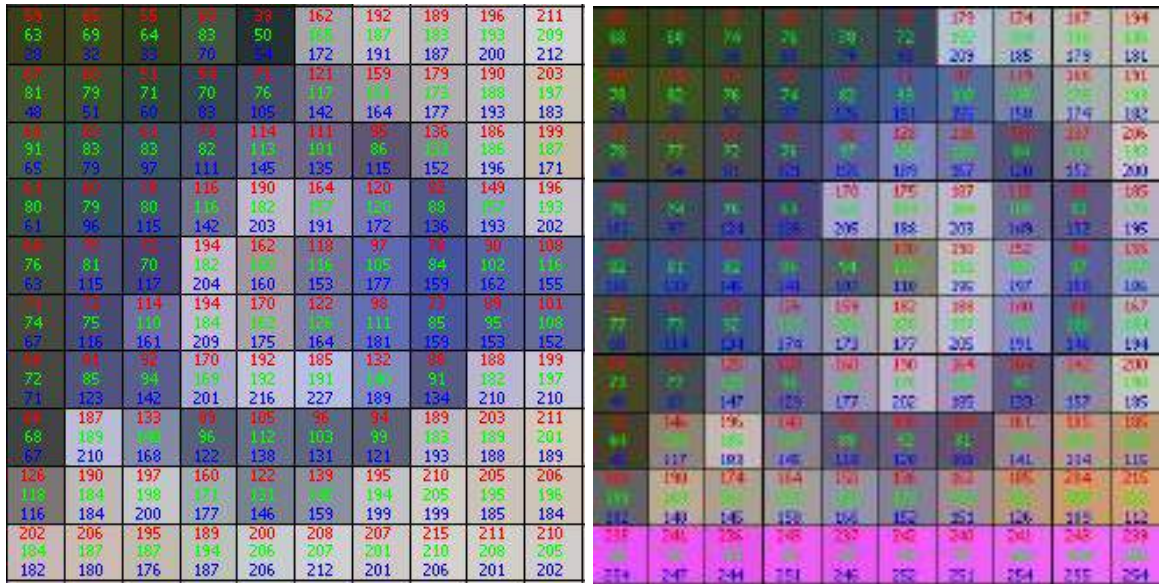
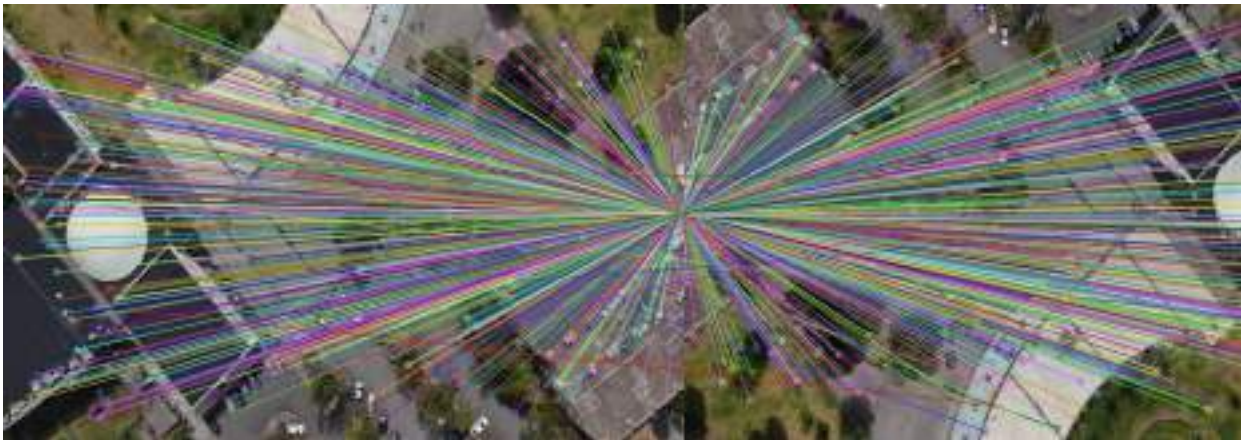


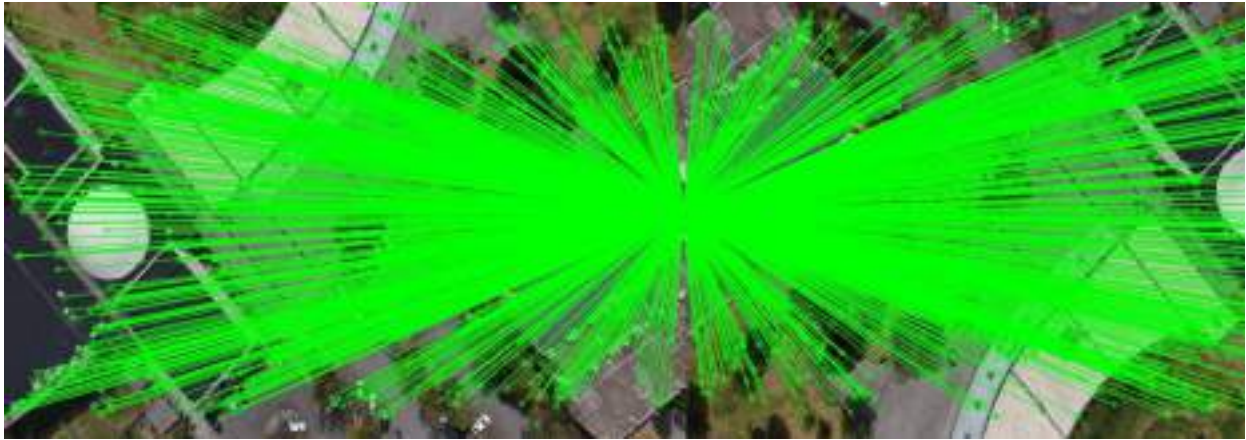
Figura 35. Píxeles de puntos correlacionados de la Figura 33. (a).

Lo que nos indica que el valor de cada pixel es diferente en cada punto característico, esto puede ser a casusa del cambio de posición del dron conforme avanza para capturar la fotografía, al cambio de iluminación, brillo, contraste y/o cambio en las condiciones del ambiente.

Usando las fotografías f01, f02 de la Figura 30 y redimensionadas a 800 × 500 píxeles y con la segunda fotografía f02 rotada 180 grados hacia la izquierda obtenemos las siguientes coincidencias.



(a) Procedimiento 1.



(b) Procedimiento 2

Figura 36. Puntos característicos comunes.

Realizando esta modificación en los dos procedimientos utilizados, podemos observar que se encuentran buenas coincidencias entre los puntos característicos comunes entre las dos imágenes.

Luego de realizar este algoritmo se aplicó en lo que se conoce como Panorama Stitching (Puntadas panorámicas) que consiste en unir imágenes para crear una imagen más grande o un panorama encontrando los puntos de interés o las características de SIFT y luego usa los descriptores para hacer coincidir estas características. En función de estas características coincidentes o correspondencias, básicamente tomará una imagen, la deformará y la alineará con la otra imagen. (Vision First Principles of Computer, 2021).

Si tenemos una gran colección de imágenes, simplemente se aplica el algoritmo SIFT a cada una de ellas, luego se combina las características entre estas diferentes imágenes y se puede juntar estas imágenes para obtener un ortomosaico en 2 dimensiones.

Antes de indicar los resultados del algoritmo SIFT y su aplicación para la obtención del ortomosaico, se explica de una manera matricial como es la coincidencia entre imágenes para obtener una imagen combinada.

5.3. Matricialmente.

Como ya hemos visto, una imagen se puede considerar como una matriz formada por los valores RGB de cada pixel, así, supongamos que se tiene tres imágenes de dimensiones 6×8 pixeles, con las cuales encontramos los puntos característicos comunes entre ellas y su traslape longitudinal y transversal.

Representamos como I_1 , I_2 y I_3 a las matrices formadas por los canales (r, g, b) para cada una de las imágenes.

$$I_1 = \begin{pmatrix} i_{11} & i_{12} & i_{13} & i_{14} & i_{15} & i_{16} & i_{17} & i_{18} \\ i_{21} & i_{22} & i_{23} & i_{24} & i_{25} & i_{26} & i_{27} & i_{28} \\ i_{31} & i_{32} & i_{33} & i_{34} & i_{35} & i_{36} & i_{37} & i_{38} \\ i_{41} & i_{42} & i_{43} & i_{44} & i_{45} & i_{46} & i_{47} & i_{48} \\ i_{51} & i_{52} & i_{53} & i_{54} & i_{55} & i_{56} & i_{57} & i_{58} \\ i_{61} & i_{62} & i_{63} & i_{64} & i_{65} & i_{66} & i_{67} & i_{68} \end{pmatrix}.$$

$$I_2 = \begin{pmatrix} j_{11} & j_{12} & j_{13} & j_{14} & j_{15} & j_{16} & j_{17} & j_{18} \\ j_{21} & j_{22} & j_{23} & j_{24} & j_{25} & j_{26} & j_{27} & j_{28} \\ j_{31} & j_{32} & j_{33} & j_{34} & j_{35} & j_{36} & j_{37} & j_{38} \\ j_{41} & j_{42} & j_{43} & j_{44} & j_{45} & j_{46} & j_{47} & j_{48} \\ j_{51} & j_{52} & j_{53} & j_{54} & j_{55} & j_{56} & j_{57} & j_{58} \\ j_{61} & j_{62} & j_{63} & j_{64} & j_{65} & j_{66} & j_{67} & j_{68} \end{pmatrix}.$$

$$I_3 = \begin{pmatrix} k_{11} & k_{12} & k_{13} & k_{14} & k_{15} & k_{16} & k_{17} & k_{18} \\ k_{21} & k_{22} & k_{23} & k_{24} & k_{25} & k_{26} & k_{27} & k_{28} \\ k_{31} & k_{32} & k_{33} & k_{34} & k_{35} & k_{36} & k_{37} & k_{38} \\ k_{41} & k_{42} & k_{43} & k_{44} & k_{45} & k_{46} & k_{47} & k_{48} \\ k_{51} & k_{52} & k_{53} & k_{54} & k_{55} & k_{56} & k_{57} & k_{58} \\ k_{61} & k_{62} & k_{63} & k_{64} & k_{65} & k_{66} & k_{67} & k_{68} \end{pmatrix}.$$

Si suponemos que en la matriz I_2 los elementos de la primera y segunda fila (color azul) son iguales a los elementos de la penúltima y última fila (color azul) de la matriz I_1 , se tiene un traslape frontal o longitudinal representando una nueva matriz de 10×8 pixeles de la siguiente forma.

$$I_{TF} = \begin{pmatrix} i_{11} & i_{12} & i_{13} & i_{14} & i_{15} & i_{16} & i_{17} & i_{18} \\ i_{21} & i_{22} & i_{23} & i_{24} & i_{25} & i_{26} & i_{27} & i_{28} \\ i_{31} & i_{32} & i_{33} & i_{34} & i_{35} & i_{36} & i_{37} & i_{38} \\ i_{41} & i_{42} & i_{43} & i_{44} & i_{45} & i_{46} & i_{47} & i_{48} \\ i_{51} \text{ } 0 \text{ } j_{11} & i_{52} \text{ } 0 \text{ } j_{12} & i_{53} \text{ } 0 \text{ } j_{13} & i_{54} \text{ } 0 \text{ } j_{14} & i_{55} \text{ } 0 \text{ } j_{15} & i_{56} \text{ } 0 \text{ } j_{16} & i_{57} \text{ } 0 \text{ } j_{17} & i_{58} \text{ } 0 \text{ } j_{18} \\ i_{61} \text{ } 0 \text{ } j_{21} & i_{62} \text{ } 0 \text{ } j_{22} & i_{63} \text{ } 0 \text{ } j_{23} & i_{64} \text{ } 0 \text{ } j_{24} & i_{65} \text{ } 0 \text{ } j_{25} & i_{66} \text{ } 0 \text{ } j_{26} & i_{67} \text{ } 0 \text{ } j_{27} & i_{68} \text{ } 0 \text{ } j_{28} \\ j_{31} & j_{32} & j_{33} & j_{34} & j_{35} & j_{36} & j_{37} & j_{38} \\ j_{41} & j_{42} & j_{43} & j_{44} & j_{45} & j_{46} & j_{47} & j_{48} \\ j_{51} & j_{52} & j_{53} & j_{54} & j_{55} & j_{56} & j_{57} & j_{58} \\ j_{61} & j_{62} & j_{63} & j_{64} & j_{65} & j_{66} & j_{67} & j_{68} \end{pmatrix}.$$

Por otro lado, si en la matriz I_3 los elementos de la primera y segunda columna (color rojo) son iguales a los elementos de la penúltima y última columna (color rojo) de la matriz I_1 , se tiene un traslape lateral o transversal, representando una nueva matriz de 6×14 pixeles de la siguiente forma.

$$I_{TL} = \begin{pmatrix} i_{11} & i_{12} & i_{13} & i_{14} & i_{15} & i_{16} & i_{17} o k_{11} & i_{18} o k_{12} & k_{13} & k_{14} & k_{15} & k_{16} & k_{17} & k_{18} \\ i_{21} & i_{22} & i_{23} & i_{24} & i_{25} & i_{26} & i_{27} o k_{21} & i_{28} o k_{22} & k_{23} & k_{24} & k_{25} & k_{26} & k_{27} & k_{28} \\ i_{31} & i_{32} & i_{33} & i_{34} & i_{35} & i_{36} & i_{37} o k_{31} & i_{38} o k_{32} & k_{33} & k_{34} & k_{35} & k_{36} & k_{37} & k_{38} \\ i_{41} & i_{42} & i_{43} & i_{44} & i_{45} & i_{46} & i_{47} o k_{41} & i_{48} o k_{42} & k_{43} & k_{44} & k_{45} & k_{46} & k_{47} & k_{48} \\ i_{51} & i_{52} & i_{53} & i_{54} & i_{55} & i_{56} & i_{57} o k_{51} & i_{58} o k_{52} & k_{53} & k_{54} & k_{55} & k_{56} & k_{57} & k_{58} \\ i_{61} & i_{62} & i_{63} & i_{64} & i_{65} & i_{66} & i_{67} o k_{61} & i_{68} o k_{62} & k_{63} & k_{64} & k_{65} & k_{66} & k_{67} & k_{68} \end{pmatrix}.$$

Finalmente, agrupando las matrices de traslape frontal y traslape lateral I_{TF} y I_{TL} , obtenemos una matriz final de la siguiente manera, donde los elementos de color verde representan los pixeles comunes entre las tres imágenes.

$$I_{TF-TL} = \begin{pmatrix} i_{11} & i_{12} & \dots & i_{16} & i_{17} o k_{11} & i_{18} o k_{12} & k_{13} & \dots & k_{18} \\ i_{21} & i_{22} & \dots & i_{26} & i_{27} o k_{21} & i_{28} o k_{22} & k_{23} & \dots & k_{28} \\ i_{31} & i_{32} & \dots & i_{36} & i_{37} o k_{31} & i_{38} o k_{32} & k_{33} & \dots & k_{38} \\ i_{41} & i_{42} & \dots & i_{46} & i_{47} o k_{41} & i_{48} o k_{42} & k_{43} & \dots & k_{48} \\ i_{51} o j_{11} & i_{52} o j_{12} & \dots & i_{56} o j_{16} & i_{57} o j_{17} o k_{51} & i_{58} o j_{18} o k_{52} & k_{53} & \dots & k_{58} \\ i_{61} o j_{21} & i_{62} o j_{22} & \dots & i_{66} o j_{26} & i_{67} o j_{27} o k_{61} & i_{68} o j_{28} o k_{62} & k_{63} & \dots & k_{68} \\ j_{31} & j_{32} & \dots & j_{36} & j_{37} & j_{38} & \dots & \dots & \dots \\ j_{41} & j_{42} & \dots & j_{46} & j_{47} & j_{48} & \dots & \dots & \dots \\ j_{51} & j_{52} & \dots & j_{56} & j_{57} & j_{58} & \dots & \dots & \dots \\ j_{61} & j_{62} & \dots & j_{66} & j_{67} & j_{68} & \dots & \dots & \dots \end{pmatrix}.$$

Para visualizar gráficamente la coincidencia de puntos comunes, consideramos tres imágenes de dimensión 6×8 pixeles, de la siguiente manera:

78	91	107	145	189	178	168	153
75	88	106	143	186	175	165	151
92	105	119	156	197	184	172	156
68	76	81	100	151	173	169	151
67	73	79	98	148	170	166	148
83	90	93	111	159	179	175	155
58	72	85	94	97	144	162	155
57	71	83	82	96	141	159	152
71	85	97	96	108	152	168	161
48	61	75	77	79	96	131	149
47	60	74	75	77	95	128	148
61	74	88	89	90	106	139	155
40	50	63	73	75	91	97	126
39	49	62	71	73	77	93	120
53	63	75	85	86	91	107	132
37	38	50	62	73	77	79	99
37	37	49	60	71	73	75	93
49	51	63	74	85	87	89	107

(a)

40	50	63	73	75	91	97	126
39	49	62	71	73	77	93	120
53	63	75	85	86	91	107	132
37	38	50	62	73	77	79	99
37	37	49	60	71	73	75	93
49	51	63	74	85	87	89	107
39	37	37	54	56	69	77	78
36	34	34	52	54	67	75	77
43	43	43	63	67	80	89	91
42	38	32	39	50	60	70	88
41	37	31	37	48	58	69	79
47	45	39	48	61	71	83	93
40	39	38	33	40	48	64	65
39	38	37	31	38	48	63	64
45	46	45	42	51	60	77	78
38	36	37	34	32	35	43	55
39	36	37	34	32	35	43	54
44	44	45	44	42	47	55	68

(b)

168	153	135	130	126	128	137	147
165	151	133	126	122	124	133	143
172	156	136	123	121	123	132	144
169	151	137	128	128	127	130	141
166	148	134	124	124	123	126	137
175	155	141	125	125	124	127	138
162	155	136	128	124	124	123	120
159	152	133	126	122	122	121	116
168	161	142	131	125	125	124	119
131	149	140	136	133	130	122	108
128	143	134	135	130	127	120	106
139	155	146	141	137	134	125	111
97	126	149	138	142	135	120	111
93	120	143	136	140	134	119	108
107	132	155	147	151	142	125	115
73	93	134	136	137	141	135	122
75	93	128	134	135	139	134	121
69	107	142	147	146	150	142	127

(c)

Figura 37. Representación de las matrices (a). I_1 , (b). I_2 y (c). I_3 .

En cada una de las imágenes anteriores podemos visualizar cada uno de los valores de cada pixel, con esto nos podemos dar cuenta que entre las tres imágenes existen puntos en común (marcados con color rojo) que a partir de estos valores podemos obtener una sola imagen como resultado de la unión de las tres imágenes anteriores, como se indica a continuación:

76	91	107	145	189	178	168	153	135	130	126	128	137	147
75	88	100	143	186	175	165	151	133	126	122	124	133	143
92	105	119	156	197	184	172	156	136	123	121	123	132	144
68	78	81	100	151	173	169	151	137	128	128	127	130	141
67	73	79	96	148	170	166	148	134	124	124	123	126	137
83	90	93	111	159	179	175	155	141	125	125	124	127	138
58	72	85	94	97	144	162	155	136	128	124	124	123	120
57	71	83	82	96	141	159	152	133	126	122	122	121	116
71	85	97	96	108	152	168	161	142	131	125	125	124	119
48	61	75	77	79	96	131	149	140	136	133	130	122	108
47	60	74	75	77	92	128	143	134	135	130	127	120	106
61	74	88	89	90	106	139	155	146	141	137	134	125	111
40	50	65	70	75	81	97	126	149	138	142	135	120	111
39	49	62	71	73	77	93	120	143	136	140	134	119	108
53	63	78	85	86	91	107	132	155	147	151	142	125	115
37	38	50	62	73	77	79	99	134	136	137	141	135	122
37	37	49	60	71	73	75	93	128	134	135	139	134	121
49	51	63	74	85	87	89	107	142	147	146	150	142	127
39	37	37	54	56	69	77	78						
36	34	34	52	54	67	75	77						
43	43	43	63	67	80	89	91						
42	38	32	39	50	60	70	80						
41	37	31	37	48	58	69	79						
47	45	39	48	61	71	83	93						
40	39	38	33	40	48	64	80						
39	38	37	31	38	48	63	84						
45	46	45	42	51	60	77	98						
38	36	37	34	32	35	43	55						
39	36	37	34	32	35	43	54						
44	44	45	44	42	47	55	68						

Figura 38. Imagen resultante.

5.4. Ortomosaico.

Un ortomosaico es el proceso de combinar varias imágenes o fotografías creando una única composición. El ortomosaico constituye la proyección orto-rectificada en dos dimensiones de la zona de estudio. Para construir el ortomosaico se debe estimar la calidad de las imágenes, luego se alinean las fotos, se estima la posición de cada fotografía, se genera una nube de puntos densa de alta calidad y finalmente se eligen los parámetros para construcción de la ortofoto: modo de mezcla mosaico, tamaño del píxel predeterminado dado que es el que brinda la máxima resolución efectiva, división de bloques de 1024×1024 . (Instituto Geofísico del Perú, 2020).

En cuanto a la calidad visual que tiene un ortomosaico, esto está relacionado directamente con el solapamiento, traslape o la sobre posición de imágenes, la altura de vuelo y la luminosidad con la que se cuenta al momento de realizar la captura de imágenes aéreas. (Jarrín, 2020).

5.4.1. Caso 0.

Usando las 30 fotografías de la Figura 30.



Figura 39. Ortomosaico Caso 0.

5.4.2. Caso 1.

Usando las fotografías f01, f03, f05, f07, f09, f11, f13, f15, f17, f19, f21, f23, f25, f27, f29; 15 fotografías de la Figura 30, es decir, saltando una fotografía.



Figura 40. Ortomosaico Caso 1.

5.4.3. Caso 2.

Usando las fotografías f01, f04, f07, f10, f13, f16, f19, f22, f25, f28; 10 fotografías de la Figura 30, es decir, saltando dos fotografías.



Figura 41. Ortomosaico Caso 2.

5.4.4. Caso 3.

Usando las fotografías f01, f05, f09, f13, f17, f21, f25, f29; 8 fotografías de la Figura 30, es decir, saltando tres fotografías.



Figura 42. Ortomosaico Caso 3.

5.4.5. Caso 4.

Usando las fotografías f01, f06, f11, f16, f21, f26; 6 fotografías de la Figura 30, es decir, saltando cuatro fotografías.



Figura 43. Ortomosaico Caso 4.

5.4.6. Caso 5.

Usando las fotografías f01, f07, f13, f19, f25; 5 fotografías de la Figura 30, es decir, saltando cinco fotografías.



Figura 44. Ortomosaico Caso 5.

5.4.7. Caso 6.

Usando las fotografías f01, f08, f15, f22, f29; 5 fotografías de la Figura 30, es decir, saltando seis fotografías.

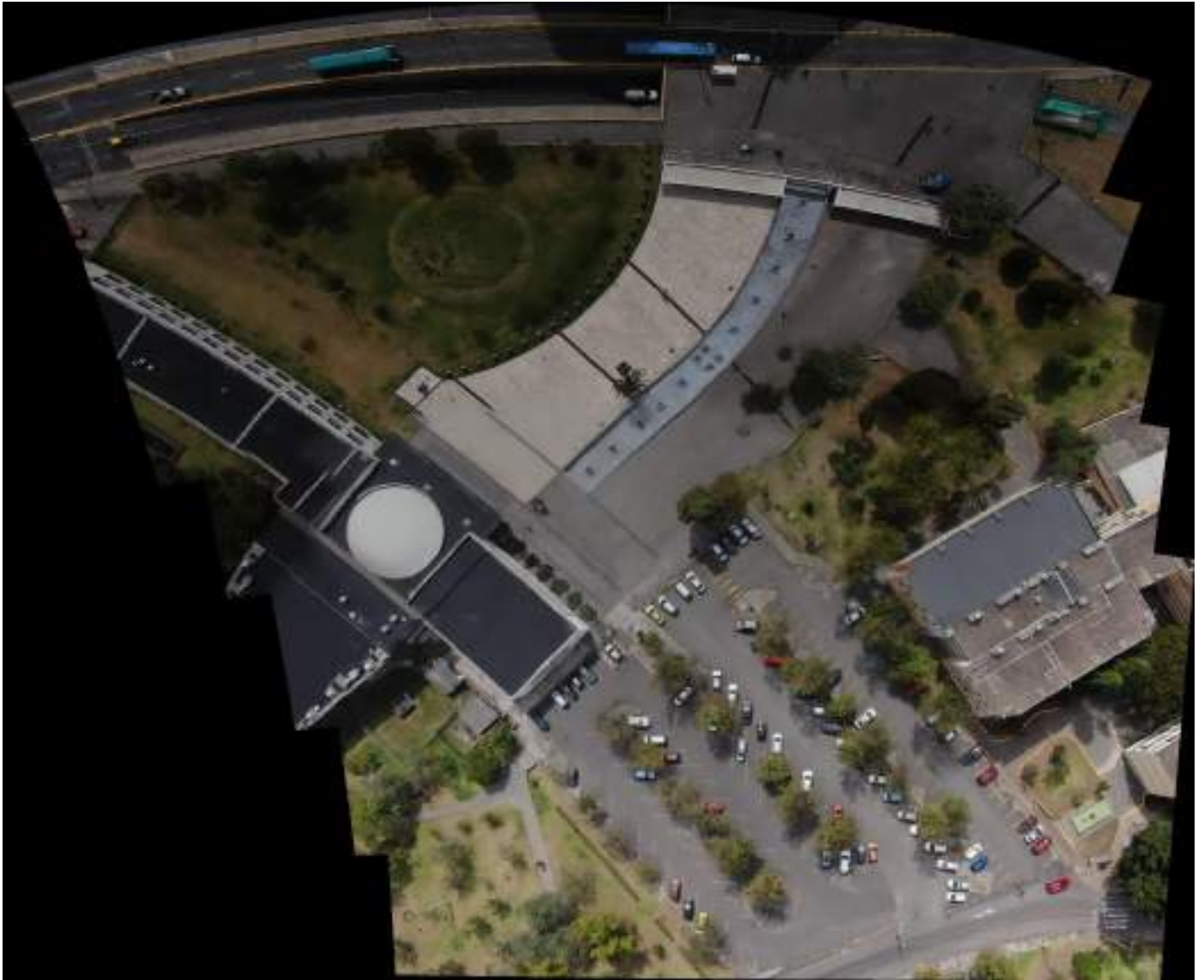


Figura 45. Ortomosaico Caso 6.

5.4.8. Caso 7.

Usando las fotografías f01, f09, f17, f25; 4 fotografías de la Figura 30, es decir, saltando siete fotografías.



Figura 46. Ortomosaico Caso 7.

5.4.9. Caso 8.

Usando las fotografías f01, f10, f19, f28; 4 fotografías de la Figura 30, es decir, saltando ocho fotografías.



Figura 47. Ortomosaico Caso 8.

5.4.10. Caso 9.

Usando las fotografías f01, f11, f21; 3 fotografías de la Figura 30, es decir, saltando nueve fotografías.



Figura 48. Ortomosaico Caso 9.

5.4.11. Caso 10.

Usando las fotografías f01, f12, f23; 3 fotografías de la Figura 30, es decir, saltando diez fotografías.



Figura 49. Ortomosaico Caso 10.

Observación: La fotografía f23 no se observa en el ortomosaico resultante.

5.4.12. Caso 11.

Usando las fotografías f01, f13, f25; 3 fotografías de la Figura 30, es decir, saltando once fotografías, se produce error en el algoritmo y no devuelve ningún resultado.

5.4.13. Caso 12.

Usando las fotografías f01, f14, f27; 3 fotografías de la Figura 30, es decir, saltando doce fotografías.



Figura 50. Ortomosaico. Caso 12.

Observación: La fotografía f27 no se observa en el ortomosaico resultante.

5.4.14. Caso 13.

Usando las fotografías f01, f15, f29; 3 fotografías de la Figura 30, es decir, saltando trece fotografías, el algoritmo se ejecuta pero no despliega ningún resultado.

5.4.15. Caso 14.

Usando las fotografías f01, f16: 2 fotografías de la Figura 30, es decir, saltando catorce fotografías, el resultado es igual que en el Caso 13.

Tabla de resultados.

Siguiendo el mismo procedimiento para los casos donde se redimensiona las fotografías al 50% (2000 × 1125 pixeles) y 10% (400 × 225 pixeles) de la dimensión original, se tiene los resultados siguientes:

	Casos														
Dimensiones	0	1	2	3	4	5	6	7	8	9	10	11	12	13	14
100%	C	C	C	C	C	C	C	C	C	C	OB	E	OB	NR	NR
50%	C	C	C	C	C	C	C	C	C	C	C	OB	NR	NR	NR
10%	C	C	C	C	C	C	C	NR	OB	OB	OB	NR	NR	OB	NR

Donde: **C:** Correcto, **E:** Error, **OB:** Observación (faltan algunas fotografías en el ortomosaico), **NR:** Ningún resultado (ortomosaico).

Con la anterior tabla de resultados podemos observar que conforme se redimensiona la fotografía y el número de fotografías a no tener en cuenta aumenta, el ortomosaico va a tener fallas. Por ejemplo si tenemos en cuenta las dimensiones originales de las fotografías y conforme hacemos los saltos de fotografías, el ortomosaico óptimo se obtendrá en el Caso 9 (salto de 9 fotografías), por otro lado, si redimensionamos las fotografías a un 10% y de igual manera realizamos los saltos de fotografías, el ortomosaico óptimo se obtendrá en el Caso 6 (salto de 6 fotografías).

Si observamos a detalle las fotografías de la Figura 30, se puede observar un cambio en la iluminación en cada una de ellas, esta variación de iluminación pudo deberse a algún cambio ambiental, por ejemplo, una nubosidad presentada al momento de tomar la fotografía. Este suceso se puede considerar como un elemento fundamental que afectó en algunos casos al reconocimiento de los puntos característicos comunes y por ende al resultado del algoritmo utilizado para la obtención del ortomosaico.

Conclusiones.

En este trabajo se ha tratado de manera general algunos conceptos matemáticos y métodos utilizados para poder recrear un ortomosaico en 2 dimensiones de la Universidad Central del Ecuador.

Para un buen resultado del ortomosaico se necesita que la fotografía sea nítida y con buena iluminación, pues de lo contrario, en una foto borrosa, movida o de poca resolución o iluminación, no se podrá identificar con precisión los puntos característicos comunes y se obtendrá un ortomosaico con imágenes faltantes o no se observara ningún resultado como se evidenció en los casos realizados.

Además, como se trata de una investigación no tan detallada no se ha tomado en consideración características importantes como estimar la mejor calidad de las imágenes con las cuales obtener el mejor rendimiento, el modo de mezcla del ortomosaico, el tamaño del píxel predeterminado dado que es el que brinda la máxima resolución efectiva, por ello, es necesario ampliar la investigación a un tratado de imágenes previo.

Al realizar este trabajo y al ser un estudio inicial, algunas características para la toma de datos (fotografías) no fueron estudiadas previamente, como es el caso del porcentaje de traslape y solape óptimo, ya que este procedimiento hubiese colaborado en mejorar el rendimiento del equipo computacional y tiempo empleado, pero, se logró un resultado satisfactorio en cada uno de los casos realizados.

El algoritmo desarrollado en Python no es en su totalidad un algoritmo eficiente, ya que necesita resumirse o mejorarse con otros métodos o funciones que optimicen tiempo y recursos.

Con el desarrollo de este trabajo se espera demostrar que la matemática interviene en cualquier campo de estudio, en este caso se evidenció su importancia en la fotogrametría y en particular en el desarrollo de un modelo u ortomosaico en 2 dimensiones.

Referencias.

- Drone, C. (2019). *Para que sirve el traslape en Fotogrametría con RPAS | by Coatza Drone | Medium*. <https://medium.com/@coatzadroneoficial/para-que-sirve-el-traslape-en-fotogrametría-con-rpas-2949b2ddf21b>
- Duarte Jiménez, K. T. (2018). *Evaluación de desempeño de distintos software para la generación de ortofotomosaicos a partir de imágenes tomadas con un vehículo aéreo no tripulado*.
- Figueiras, S. (2018). *Integración de nubes de puntos generadas a partir de técnicas de fotogrametría aérea por multicorrelación en zonas urbanizadas*. http://oa.upm.es/53250/1/TESIS_MASTER_SERGIO_FIGUEIRAS_SANCHEZ.pdf
- Gómez Ortega, A. R. (2018). *ALGORITMO PARA LA GENERACIÓN DE ORTOMOSAICOS A PARTIR DE IMÁGENES AÉREAS TOMADAS POR DRONES EN LA AGRICULTURA*.
- He, X., Zemel, R. S., & Mnih, and V. (2006). *Topological Map Learning from Outdoor Image Sequences*.
- Hernández, S. L. (2017). *Generación de Ortoimágenes usando Vehículos Aéreos no Tripulados aplicado a la Agricultura*.
- Instituto Geofísico del Perú. (2020). *Levantamiento topográfico mediante fotogrametría aérea con dron y mediciones GPS de Alto Larán y Río Chico*. 511. www.igp.gob.pe
- Instituto Geográfico Agustín Codazzi. (2002). *¿Qué es la fotogrametría? | Instituto Geográfico Agustín Codazzi*. <https://www.igac.gov.co/es/contenido/que-es-la-fotogrametria>
- Jarrín, A. (2020). *ANÁLISIS DE MODELOS DIGITALES DE TERRENO PARA LA OBTENCIÓN DE UN MAPA DE DENSIDAD DE DRENAJE MEDIANTE SOFTWARES FOTOGRAMÉTRICOS Y SISTEMAS DE INFORMACIÓN GEOGRÁFICA PARA IMÁGENES OBTENIDAS CON UAV, RESULTADOS APLICADOS A ESTUDIOS MORFOMÉTRICOS EN LADERAS*. Escuela Politécnica Nacional.
- Li, D., Sun, H., & Wang, H. (2015). An improved SIFT algorithm for image stereo matching. *Xinan Jiaotong Daxue Xuebao/Journal of Southwest Jiaotong University*, 50(3), 490–496. <https://doi.org/10.3969/j.issn.0258-2724.2015.03.017>
- Lowe, D. G. (2011). *Object Recognition from Local Scale-Invariant Features*.
- Min, Z., Jiguo, Z., & Xusheng, X. (2012). Panorama Stitching Based on SIFT Algorithm and Levenberg-Marquardt Optimization. *Physics Procedia*, 33, 811–818. <https://doi.org/10.1016/J.PHPRO.2012.05.139>
- Olvera, P., David, R., Manuel, D. R., Ortega, P., Carlos, J., Antonio, F. M., & Saúl, T. A. (2013). *Procesamiento y análisis de imágenes mediante el algoritmo SIFT en OpenCV*. 195–200.

- Takacs, G., Chandrasekhar, V., Gelfand, N., Xiong, Y., Chen, W. C., Bismipigiannis, T., Grzeszczuk, R., Pulli, K., & Girod, B. (2008). Outdoors augmented reality on mobile phone using Loxel-based visual feature organization. *Proceedings of the 1st International ACM Conference on Multimedia Information Retrieval, MIR2008, Co-located with the 2008 ACM International Conference on Multimedia, MM'08, October*, 427–434.
<https://doi.org/10.1145/1460096.1460165>
- Tatay, T. (2003). *5 Programas Interesantes para Crear Fotos Panorámicas*.
<https://www.dzoom.org.es/programas-para-hacer-fotos-panoramicas/>
- Universidad Miguel Hernández de Elche. (2021). *umh1782 2020-21 Lección 006-5 - Detección de Bordes en Imágenes: Comparación funciones* - YouTube.
https://www.youtube.com/watch?v=XmdTp1K-2A0&ab_channel=UniversidadMiguelHernándezdeElche
- Vision First Principles of Computer. (2021). *SIFT Descriptor | SIFT Detector* - YouTube.
https://www.youtube.com/watch?v=IBcsS8_gPzE&t=13s&ab_channel=FirstPrinciplesofComputerVision
- Zhang, W., & Košecká, J. (2005). Localization based on building recognition. *IEEE Computer Society Conference on Computer Vision and Pattern Recognition Workshops, 2005-Sept.*
<https://doi.org/10.1109/CVPR.2005.489>